



# Driftmetingen Wanner NTR 20 2-rijen dwarsstroomspuit met reflectieschermen en luchtregelingssysteem 2019-2021

D.C. de Hoog, P.W. Goedhart, H.J. Holterman, J.F.M. Huijsmans, J.G.P. Michielsen, M. Snoussi,  
H. Stallinga, M. Wenneker & J.C. van de Zande



**WAGENINGEN**  
UNIVERSITY & RESEARCH



---

# Driftmetingen Wanner NTR 20 2-rijen dwarsstroomspuit met reflectieschermen en luchtregelingssysteem 2019-2021

D.C. de Hoog, P.W. Goedhart, H.J. Holterman, J.F.M. Huijsmans, J.M.G.P. Michielsen, M. Snoussi, H. Stallinga, M. Wenneker & J.C. van de Zande

Dit onderzoek is in samenwerking met Kruse Ootmarsum BV te Ootmarsum uitgevoerd door de Stichting Wageningen Research (WR), business unit Agrosysteemkunde (projectnummer 3710470100).

WR is een onderdeel van Wageningen University & Research, samenwerkingsverband tussen Wageningen University en de Stichting Wageningen Research.

Wageningen, januari 2022

---

Rapport WPR-1126

---

Hoog, D.C. de, P.W. Goedhart, H.J. Holterman, J.F.M. Huijsmans, J.M.G.P. Michielsen, M. Snoussi, H. Stallinga, M. Wenneker & J.C. van de Zande, 2022. *Driftmetingen Wanner NTR 20 2-rijen dwarsstroomspuit met reflectieschermen en luchtregelingssysteem 2019-2021*. Wageningen Research, Rapport WPR-1126.

Dit rapport is gratis te downloaden op <https://doi.org/10.18174/563412>

Results of spray drift experiments are presented of the Wanner NTR 20 2-row crossflow fan orchard sprayer equipped with reflection screens and air management system in comparison with a reference spray technique for fruit crop spraying in The Netherlands. The Wanner sprayer was equipped with variable air settings (dependent on wind speed and direction), the air speed was limited to the 25% setting (700 rpm fan speed), top covers (above the tree rows) and drift reducing nozzles (Lechler IDK 90-0067 C at 7 bar spray pressure, 75 % drift reduction). The Wanner orchard sprayer uses the reflection screens to spray the crop from 2 sides, so two rows of orchard are treated simultaneously. During the spray drift experiments, performed in 2019 and 2021, the downwind outer 24 m of an apple orchard was sprayed at the full leaf stage (BBCH 75-91) using the fluorescent tracer Acid Yellow 250. Spray drift deposition was collected downwind on a mowed grass area up to 25 m distance from the last tree row. For the Wanner orchard sprayer spray drift reduction at 4.5-5.5 m distance from the last tree row was 98.1% in comparison with the reference spray application.

Key words: orchard sprayer, spray drift, nozzle type, air assistance, spray drift reduction

© 2022 Wageningen, Stichting Wageningen Research, Wageningen Plant Research, Business unit Agrosysteemkunde, Postbus 16, 6700 AA Wageningen; T 0317 48 07 00; [www.wur.nl/plant-research](http://www.wur.nl/plant-research)

KvK: 09098104 te Arnhem  
VAT NL no. 8113.83.696.B07

Stichting Wageningen Research. Alle rechten voorbehouden. Niets uit deze uitgave mag worden verveelvoudigd, opgeslagen in een geautomatiseerd gegevensbestand, of openbaar gemaakt, in enige vorm of op enige wijze, hetzij elektronisch, mechanisch, door fotokopieën, opnamen of enige andere manier zonder voorafgaande schriftelijke toestemming van Stichting Wageningen Research.

Stichting Wageningen Research is niet aansprakelijk voor eventuele schadelijke gevolgen die kunnen ontstaan bij gebruik van gegevens uit deze uitgave.

Rapport WPR-1126

Foto omslag: Jean-Marie Michielsen (P1050219.JPG)

---

# Inhoud

<b>Inhoud</b>	<b>5</b>
<b>1 Inleiding</b>	<b>7</b>
<b>2 Materiaal en Methode</b>	<b>9</b>
2.1 Afstelling en beschrijving spuittechniek	9
2.1.1 Karakteristieken referentie dwarsstroomspuit	10
2.1.2 Karakteristieken Wanner NTR 20 2-rijen dwarsstroomspuit met reflectieschermen en luchtregelingssysteem	11
2.1.3 Samenvatting gebruikte spuittechnieken	14
2.2 Beschrijving metingen en verwerking resultaten	15
2.2.1 Metingen	15
2.2.2 Analyses	18
2.3 Methode voor het schatten van het reductiepercentage	19
2.3.1 Globale beschrijving van de methode	19
2.3.2 Gedetailleerde beschrijving van de methode	20
2.3.3 Meta-analyse	21
2.3.4 Opmerkingen bij de methode	21
2.4 Weersomstandigheden	23
<b>3 Resultaten</b>	<b>25</b>
<b>4 Discussie en conclusie</b>	<b>27</b>
<b>Literatuur</b>	<b>29</b>



---

# 1 Inleiding

Vermindering van de emissie van gewasbeschermingsmiddelen in de fruitteelt speelt een belangrijke rol bij de invulling van Duurzame Gewasbescherming (EZ, 2013), het Activiteitenbesluit Milieubeheer (I&W, 2017) en de toelating van gewasbeschermingsmiddelen (Ctgb, 2020). Op alle percelen dient de toediening van gewasbeschermingsmiddelen met minimaal 75% drift-reducerende technieken (DRT75) uitgevoerd te worden. Hierbij stelt het Activiteitenbesluit Milieubeheer (I&W, 2017) dat voor de fruitteelt de teeltvrije zone bij een DRT75 (TCT, 2021) minimaal 4,5 m moet zijn. Als een 3 m teeltvrije zone gebruikt wordt moeten gewasbeschermingsmiddelen met een minimaal 90% drift-reducerende techniek (DRT90) uitgevoerd worden.

De emissie van gewasbeschermingsmiddelen in de fruitteelt is hoog ten opzichte van andere teeltsectoren. Dit wordt onder meer veroorzaakt door de opgaande en horizontale spuitrichting en de vaak krachtige luchtondersteuning bij fruitteeltspuiten, waardoor veel spuitvloeistof door het bladerdek van de bomenrijen heen gespoten wordt. Om emissie te beperken zijn verschillende techniek- en teeltmaatregelen mogelijk. Technische maatregelen kunnen bestaan uit het gebruik van een geschikt doptype, afscherming en luchtondersteuning. Een teeltmaatregel is bijvoorbeeld het aanleggen van een windsingel (windhaag), of het aanleggen van een grotere teeltvrije zone waardoor de afstand tussen het te bespuiten gewas en het oppervlaktewater vergroot wordt, en de drift naar het wateroppervlak af zal nemen. Uit metingen is gebleken dat bespuitingen met neveldoppen een aanzienlijke drift naar de lucht tot gevolg kunnen hebben (Michielsen *et al.*, 2007, Zande *et al.*, 2014). Deze emissie kan relevant zijn voor milieubelasting op grotere afstand van percelen, of consequenties hebben voor de aanwezigheid van bijvoorbeeld omwonenden en bebouwing (Gezondheidsraad, 2014). In deze rapportage wordt alleen driftdepositie op korte afstand onderzocht en geëvalueerd voor de depositie op oppervlaktewater voor indeling in een driftreductieklasse.

De Wanner NTR 20 2-rijen dwarsstroomspuit met reflectieschermen en luchtregelingssysteem zorgt ervoor dat een groot deel van de drift wordt afgevangen en dus niet de boomgaard uitwaait. In combinatie met een driftreducerende dop wordt ervan uitgegaan dat dit minder risico geeft voor het milieu dan traditionele technieken.

In dit onderzoek wordt een Wanner NTR 20 2-rijen dwarsstroomspuit met reflectieschermen en luchtregelingssysteem vergeleken met een conventionele dwarsstroomspuit met betrekking tot de benedenwindse driftdepositie op de grond. De driftmetingen voldoen aan de opgestelde eisen vanuit de toelating van gewasbeschermingsmiddelen (Ctgb, 2020), het Activiteitenbesluit Milieubeheer (I&W, 2017) en internationale afspraken rondom erkenning van driftmetingen (ISO22866, 2005; ISO22369, 2006). In deze rapportage worden de uitgevoerde driftmetingen van de Wanner dwarsstroomspuit met reflectieschermen en de standaard dwarsstroom boomgaardspuit tijdens bespuitingen van een appelboomgaard in het volblad (na 1 mei) stadium beschreven. In hoofdstuk 2 wordt de proefopzet en de gebruiken spuitmachines besproken, daarna volgen in hoofdstuk 3 en 4 respectievelijk de resultaten en de discussie en conclusie.





---

## 2 Materiaal en Methode

### 2.1 Afstelling en beschrijving spuittechniek

In een veldonderzoek is in de periode 2019-2021 de driftdepositie gemeten voor een Wanner NTR 20 2-rijen dwarsstroomspuit met reflectieschermen en luchtregelingssysteem (figuur 2.2)..

De Wanner spuit is uitgebouwd met reflectieschermen. De reflectieschermen zorgen ervoor dat de lucht en vloeistof die door het te bespuiten gewas heen geblazen wordt, door de schermen terug de bomenrij werd in geblazen. Vloeistof die neerslaat aan de binnenkant van de reflectieschermen wordt verzameld en opnieuw gebruikt. Aan het uiteinde van het reflectiescherm zit ook een serie spuitdoppen (figuur 2.4) zodat de vloeistof aan de teruggebogen luchtstroom wordt toegevoegd en de bomen van twee kanten worden behandeld (figuur 2.6). Het reflectiescherm heeft een zodanige hoogte en breedte dat het verwaaien van spuitnevel wordt beperkt. Bij het type NTR20 is ook de bovenzijde van de dwarsstroomspuit afgedekt met schermen (TCT, 2021b.). De driftmetingen zijn uitgevoerd met een Lechler IDK 90-0067 C spuitdop bij 7 bar spuitdruk (75% driftreducerend; DRD75, TCT, 2022) en een variabele luchtinstelling van 25 %, om een lager niveau van luchthoeveelheid te realiseren (figuur 2.5). Het NTR luchtregelingssysteem zorgt ervoor dat de ventilatoren optimaal in de reflectieschermen blazen om te compenseren voor de rijbeweging en de omgevingswind. Het luchtregelingssysteem, ingesteld op 25 %, komt overeen met een ventilator toerental van 700 rpm.

De driftdepositie van de Wanner NTR 20 2-rijen dwarsstroomspuit met reflectieschermen en luchtregelingssysteem werd vergeleken met die van de referentie dwarsstroomspuit voorzien van Albuz ATR Lila doppen (referentietechniek; TCT, 2017).

### 2.1.1 Karakteristieken referentie dwarsstroomspuit

De referentie dwarsstroomspuit (Munckhof, Horst) is een axiaalspuit voorzien van een dwarsstroomkap op de ventilator (figuur 2.1). In tabel 2.1 staan de posities van de dophouders van de dwarsstroomspuit boven grondoppervlak weergegeven.

**Tabel 2.1** Dophoogte vanaf de grond [cm] van de dophouders op de referentie dwarsstroomspuit.

dopnr	1	2	3	4	5	6	7	8	9	10
links	50	68	84	99	120	153	180	215	250	285
rechts	48	66	81	99	121	153	181	216	251	286

Er werd gespoten met 2 x 8 geopende spuitdoppen, waarbij de onderste (ca. 50 cm) en de bovenste dop (op ca. 285 cm) waren gesloten. De bovenste spuitende dop zat op 2,50 m hoogte in overeenstemming met de toppen van de fruitbomen. De spuit werd aangedreven door een New Holland T4050N (in 2019) of een New Holland T4.110N (in 2021) fruitteelttrekker, met een rij snelheid van 6,5-6,9 km/h en een aftakas-toerental van 540 rpm. Er werd gemeten bij de volluchtstand van de ventilator, hierbij was de gemiddelde luchtsnelheid over de gehele luchtspleet 21 m/s. Albuz ATR Lila werveldoppen zijn gebruikt met een spuitdruk van 7 bar (referentie) en een spuitvolume van 200 l/ha.



**Figuur 2.1** Standaard referentie dwarsstroomspuit tijdens driftmetingen.



**Figuur 2.2** Wanner NTR 20 2-rijen dwarsstroomspuit met reflectieschermen en luchtregelingssysteem.

### 2.1.2 Karakteristieken Wanner NTR 20 2-rijen dwarsstroomspuit met reflectieschermen en luchtregelingssysteem

In tabel 2.2 staan de posities van de dophouders op de Wanner NTR 20 2-rijen dwarsstroomspuit met reflectieschermen en luchtregelingssysteem boven grondoppervlak weergegeven.

**Tabel 2.2** Dophoogte vanaf de grond [cm] van de dophouders in het reflectiescherm en aan de Wanner dwarsstroomspuit, dophoogtes links en rechts zijn identiek.

dopnr	1	2	3	4	5	6	7	8	9	10
In reflectiescherm	72	132	192	252	312	-	-	-	-	-
Aan de spuit	41	71	101	131	161	191	221	251	276	303

De Wanner NTR 20 2-rijen dwarsstroomspuit met reflectieschermen en luchtregelingssysteem spuit in één werkgang, twee bomenrijen, zie figuur 2.2 en 2.7.

Tijdens de driftmetingen (figuur 2.2) werd gespoten met 7 spuitdoppen vanaf de spuit (van binnen naar buiten, tabel 2.2 doppen 2 t/m 8) en met 4 doppen vanuit het reflectiescherm (tabel 2.2 doppen 1 t/m 4, figuur 2.4). Deze selectie is gemaakt zodat de spuithoogte in overeenstemming is met de toppen van de fruitbomen. De spuit werd getrokken en aangedreven door een New Holland T4050N (in 2019) of een New Holland T4.110N (in 2021) fruitteelt trekker. De rijsnelheid bij een aftakstoerental van 450 rpm was 5,5-6,2 km/h, de ventilatoren werden onafhankelijk van het aftakstoerental geregeld en ingesteld op 25%, wat overeenkwam met 700 rpm. Bij de bespuitingen is gebruik gemaakt van Lechler IDK 90-0067 C spuitdoppen bij 7 bar spuitdruk (figuur 2.3, DRD75, TCT, 2022) en een spuitvolume van 164 l/ha.



**Figuur 2.3** De gebruikte Lechler IDK 90-0067 C spuitdop.





**Figuur 2.4** Doppen aan binnenzijde van het reflectiescherm, met bovenin de anemometer (rode cirkel) waarmee de lichtsnelheid wordt gemeten.



**Figuur 2.5** Het weerstation bovenop de Wanner dwarsstroomspruit met reflectieschermen (links: in de rode cirkel, rechts een grotere afbeelding).



**Figuur 2.6** Scherm van spuitcomputer met daarop per spuitrichting het luchtvolume in %.

De Wanner NTR 20 2-rijen dwarsstroomspuit met reflectieschermen en luchtregelingssysteem heeft 2 tangentialventilatoren, die luchtondersteuning bieden vanuit de machine naar buiten. Aan elke ventilator zit een actuator die de blazer kan verdraaien, waardoor de luchtstroomrichting verstelbaar is. De CLRS (Computer gestuurd Lucht Regel Systeem) bepaalt via de actuator de blaasrichting. De richting van de luchtondersteuning is gebaseerd op de windrichting en de rijnsnelheid. De windrichting wordt bepaald door een windvaan bovenop de spuit (figuur 2.5), de rijnsnelheid door een wielsensor. Hierdoor wordt de werking van de reflectieschermen geoptimaliseerd.

Daarnaast wordt de hoeveelheid luchtondersteuning gebaseerd op de windsterkte in het reflectiescherm, welke wordt gemeten door middel van anemometers in de reflectieschermen (figuur 2.4). De 25 % instelling in deze metingen is een maximum, het toerental van de ventilatoren kan worden teruggeregeld door de CLRS als de gewenste lucht in de reflectieschermen wordt overschreden. De ventilatoren worden hydraulisch aangedreven en zijn onafhankelijk van het aftakas-toerental.



**Figuur 2.7** De lucht en vloeistof wordt vanaf de tangentialventilatoren met daarvoor de doppen (a.) naar de bomen geblazen. De lucht en vloeistof die door de bomen komt wordt teruggebogen door de reflectorschermen (b.), hier wordt extra vloeistof aan toegevoegd bij het uiteinde van het reflectorschermb (figuur 2.4). Vloeistof die neerslaat in het reflectorschermb wordt opgevangen en opnieuw gebruikt.

### 2.1.3 Samenvatting gebruikte spuittechnieken

In tabel 2.3 staat een samenvatting van de tijdens de driftmetingen gebruikte spuittechnieken.

**Tabel 2.3** Samenvatting gebruikte spuittechnieken in de driftmetingen

Spuut	referentie	Wanner NTR20 Reflectie
aftakas	540	450
Spuitdoppen	Albuz	Lechler
	ATR Lila	IDK 90-0067 C
doptype	Werveldop	Venturidop
druk [bar]	7	7
n-doppen	2x8	2x7 en 2x4
dop afgifte [l/min]	0,42	0,41
Gemiddelde rijsnelheid [km/h]	6,9	6,0
Gemiddeld spuitvolume [l/ha]	200	164



---

## 2.2 Beschrijving metingen en verwerking resultaten

### 2.2.1 Metingen

De metingen werden in 2019 op 22 augustus, 29 oktober en 15 november en in 2021 op 29 juli, 13 augustus en 18 augustus uitgevoerd. Ze zijn uitgevoerd in de proeftuin van WPR BU Open Teelten-fruit te Randwijk, op perceel Oost. Dit perceel is aangeplant met het appelras Elstar. De fruitbomen staan in een plantverband van 1,1 m afstand in de rij en 3,0 m tussen de rijen (rijafstand). De bomen waren 2,25 m hoog en in het volbladstadium (BBCH 75-91). Alle metingen zijn uitgevoerd in overeenstemming met de driftmeetprotocollen TCT (TCT, 2017b) en ISO22866.

In 2019 bestond het perceel uit een blok van 110 meter lengte en 14 rijen (52m) breed (figuur 2.8, boven). Daaromheen lag een strook gras van ongeveer 30 m breed. Op deze strook gras werden twee driftmeetstroken uitgelegd op een onderlinge afstand van 30 m. Deze twee meetstroken worden beschouwd als twee aparte herhalingen. Bij elke driftmeetstrook werden twee meetraaien (duplo bepalingen) uitgelegd met ongeveer 2 meter tussenruimte tussen de meetraaien.

In 2020 is de helft van het perceel vervangen door een nieuwe aanplant (zuidzijde). De driftmetingen in 2021 werden uitgevoerd in het blok met de oude aanplant (noordzijde). Het blok had een lengte van 55 m. Op de strook gras kon in 2021 maar 1 meetstrook worden uitgelegd. In figuur 2.8 staat een schematische weergave van het proefveld in 2019 (boven) en 2021 (onder). In figuur 2.9 staat een bovenaanzicht van het proefveld met aan weerszijden de meetopstelling (boven) en een bovenaanzicht van de boomrijen en de proefopstelling.

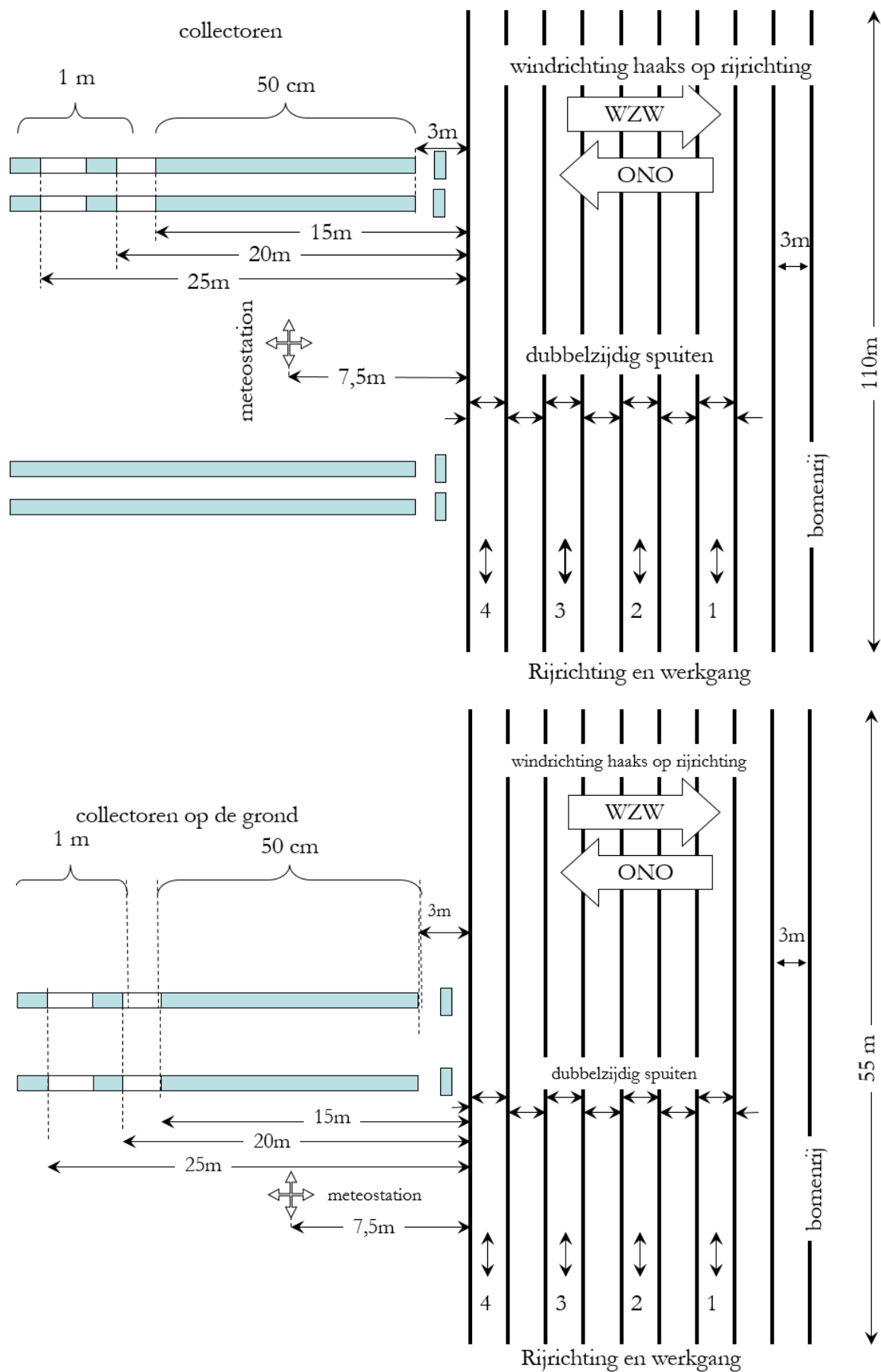
Tijdens de driftmetingen werden de laatste acht bomenrijen (24m) aan de benedenwindse zijde volledig bespoten met één en dezelfde instelling. Na elke bespuiting werden de driftcollectoren verzameld en per stuk verpakt en opgeborgen, zodat de depositie per object bepaald kon worden.

De driftdepositie werd gemeten door collectoren (Technofil TF 290; 10x100 cm, 10x50 cm) op de volgende afstanden vanaf het midden van de laatste bomenrij (figuur 2.10):

- Op 1,5 meter, evenwijdig aan de buitenste bomenrij, een collector van 1 meter lengte.
- Op 3 – 15 meter aaneengesloten collectoren van 0,5 meter (haaks op de bomenrij).
- Op 20 en 25 meter een collector van 1 meter (haaks op de bomenrij).

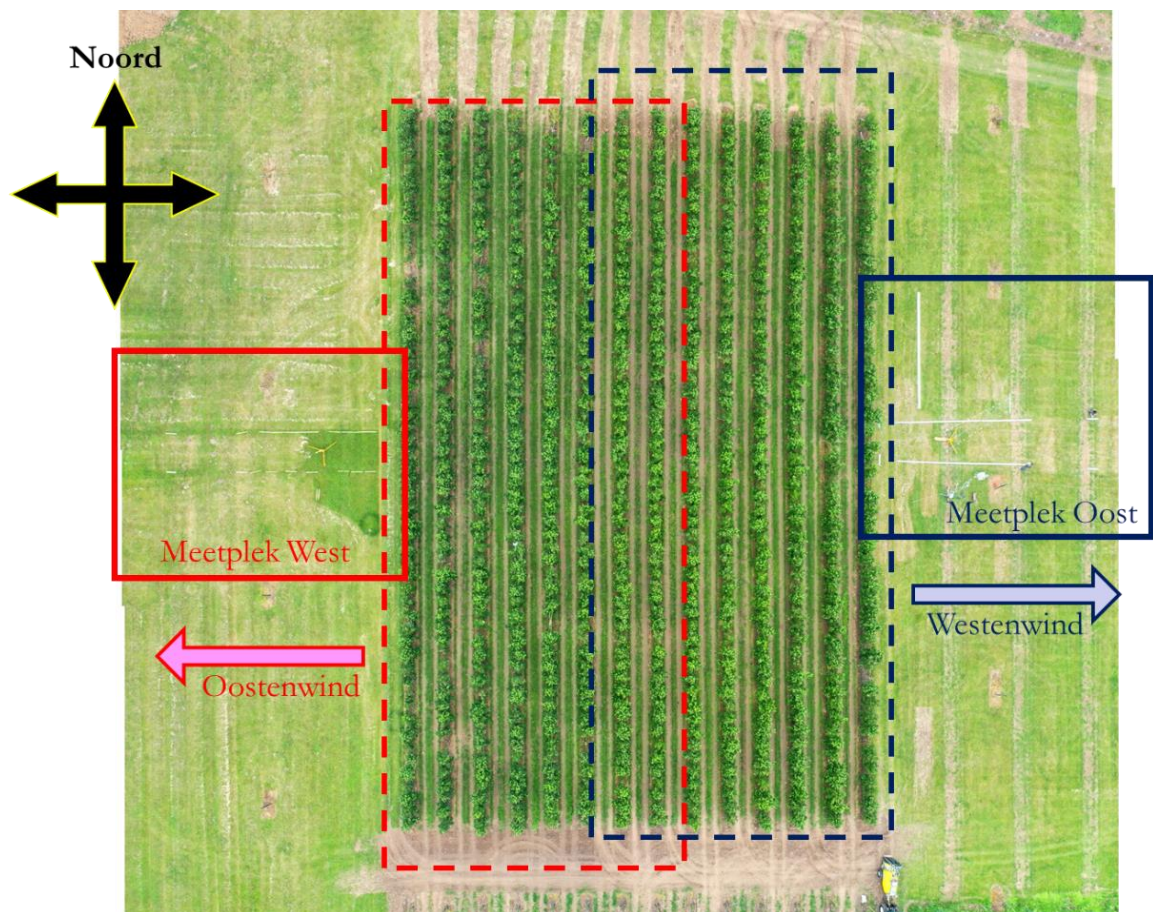
De afstand werd gemeten vanaf het midden (hart) van de buitenste bomenrij.

Tijdens de metingen werd voor elke te bespuiten rij de instelling van de spuit (zowel test als referentie) gecontroleerd en vastgelegd en de heersende wind bepaald. Volgens het meetprotocol (TCT, 2017) moet de windsnelheid tussen 1 en 5 m/s liggen en de windrichting mag niet meer dan 30° van haaks afwijken. Pas als hieraan was voldaan, werd de bespuiting gestart. Aan het eind werd van alle meteodata een samenvattend gemiddelde gemaakt (paragraaf 2.4). Als bij het passeren van de meetopstelling de windrichting en of snelheid niet aan de genoemde criteria van het meetprotocol voldeden, werden de metingen afgekeurd.



**Figuur 2.8** Schematische weergave proefveld en meetopstelling in 2019 (boven) en 2021 (onder).



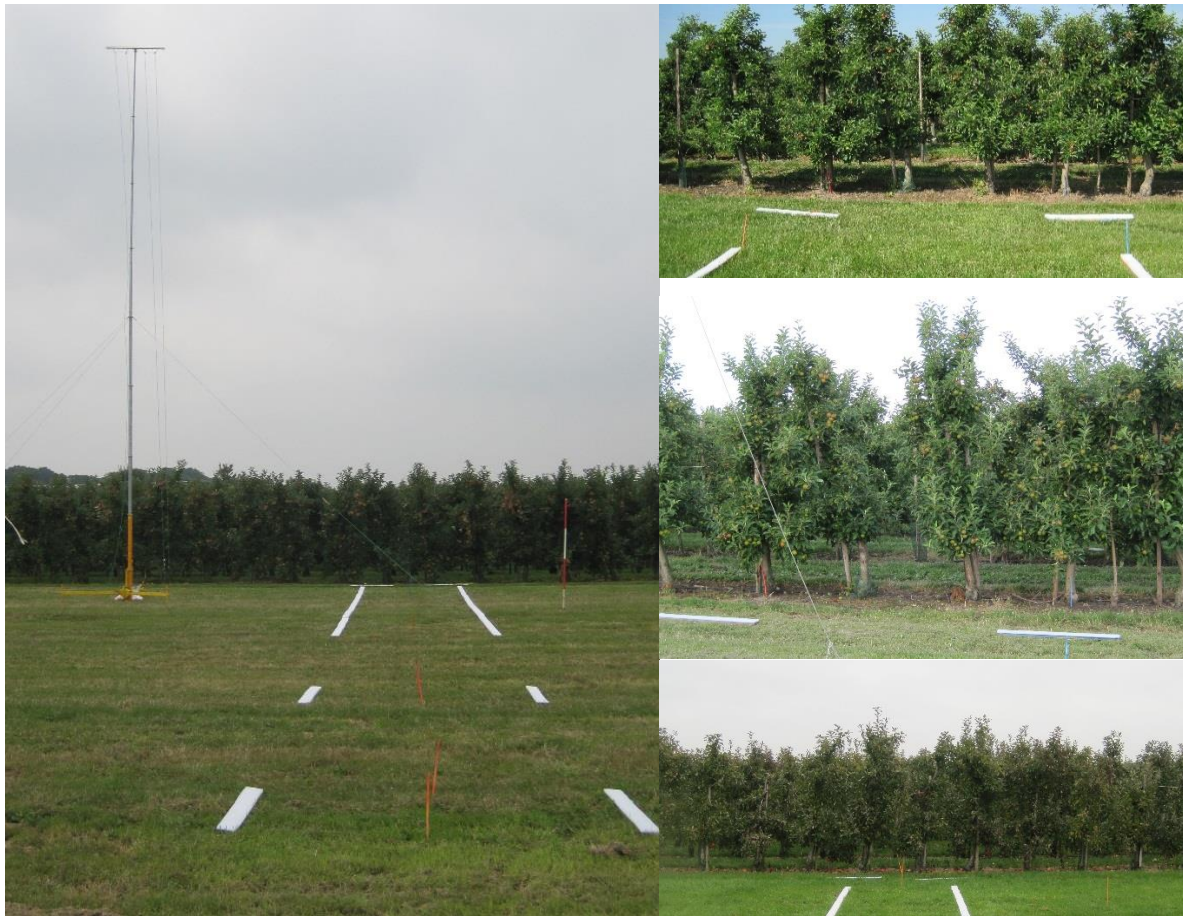


**Figuur 2.9** Bovenaanzicht proefveld (boven) en van de boomrijen en meetopstelling.



### 2.2.2 Analyses

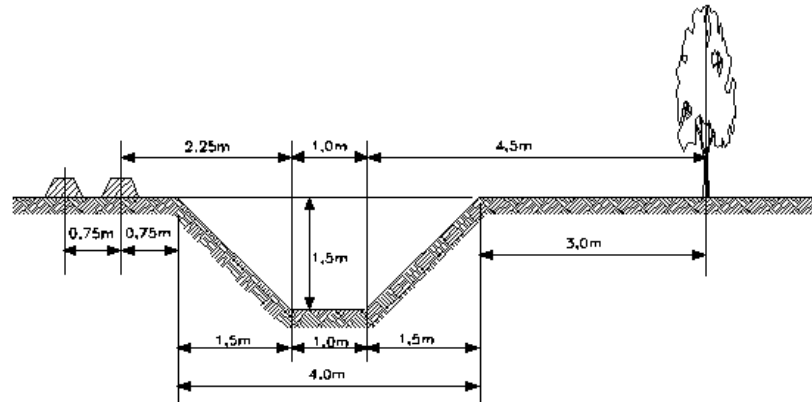
De bespuitingen werden uitgevoerd met water waaraan Acid Yellow 250 (AY250, DC Finechemicals, CAS nummer 93859-32-6, 2-5 g/l) en een niet-ionische uitvloeier (Agral Gold, 0,075 ml/l) was toegevoegd. Na de bespuiting werden de driftcollectoren verzameld en gecodeerd voor verdere analyse op de hoeveelheid AY250. Elke meetdag werden uit een spuitende spuitdop monsters van de tankvloei stof genomen om de AY250-concentratie van de verspoten spuitvloei stof te meten. In het laboratorium werden de collectoren met gedemineraliseerd water gespoeld, zodanig dat de AY250 op de driftcollectoren in oplossing kwam. Van deze oplossing werd de concentratie aan AY250 gemeten met behulp van een fluorimeter (herhaling 1 en 2 uit 2019 met de Perkin Elmer LS 55 ( $\lambda_{\text{ex}}=450 \text{ nm}$ ;  $\lambda_{\text{em}}=500 \text{ nm}$ ) en de andere herhalingen met de Perkin Elmer FL 8500 ( $\lambda_{\text{ex}}=450 \text{ nm}$ ;  $\lambda_{\text{em}}=500 \text{ nm}$ )). Voor het bepalen van de achtergrondfluorescentie werden blanco collectoren geanalyseerd. De concentratie AY250 in de tankmonsters werd ook fluorimetrisch bepaald.



**Figuur 2.10** Overzicht drift meetopstelling (links); collectoren op de grond tot 25 m van de buitenste bomenrij, indruk van bladmassa appelbomen en collectoren dicht bij buitenste bomenrij op twee meetplekken (rechts).

## 2.3 Methode voor het schatten van het reductiepercentage

Voor de vergelijking van de driftdepositie van de Wanner dwarsstroomspruit met reflectieschermen met de referentie machine zijn de driftwaarden (% van spuitvolume) uitgerekend voor de evaluatiestrook overeenkomend met de positie van de sloot (insteek-insteek afstand 4 m) en het wateroppervlak daarbinnen (1 m). De teeltvrije zone wordt in het Activiteitenbesluit Milieubeheer (I&W, 2017) gedefinieerd als de afstand tussen de insteek van de sloot en de buitenste gewasrij (voor fruitteelt 3 m in figuur 2.11). De evaluatiestrook is dan het gebied tussen 4.5 en 5.5 meter ten opzichte van het midden van de buitenste bomenrij.



**Figuur 2.11** Schematische weergave van de plaats van de sloot, het talud en het wateroppervlak ten opzichte van de laatste gewasrij in aardappelen (links) en de buitenste bomenrij in de fruitteelt (rechts) (Huijsmans et al., 1997).

### 2.3.1 Globale beschrijving van de methode

Het doel van het onderzoek is om het percentage driftdepositie van een Test machine ( $T$ ) op een bepaald afstandsinterval te vergelijken met het percentage deposities van een Referentie machine ( $R$ ). Er mag verondersteld worden dat dit percentage, voor beide machines, monotoon afneemt met de afstand tot de bespoten boomgaard. Op afstand oneindig is de driftdepositie gelijk aan nul. Voor de Test machine blijkt een enkel exponentiële curve  $P_1(x)$  in het algemeen goed te passen en voor de Referentie machine een dubbel exponentiële curve  $P_2(x)$ :

$$P_1(x) = \beta \exp(-\delta x)$$

$$P_2(x) = \beta_1 \exp(-\delta_1 x) + \beta_2 \exp(-\delta_2 x)$$

Deze functies zijn alleen monotoon afnemend als de parameters  $\beta$  en  $\delta$  positief zijn. Het percentage depositie  $Q_M$  van een machine  $M$  in het afstand interval  $(x_a, x_b)$  wordt dan gegeven door de integraal

$$Q_M = \int_a^b P(x) dx$$

Het reductie percentage van machine  $T$  ten opzichte van machine  $R$  wordt gegeven door

$$\text{Reductie} = 100 - 100 Q_T / Q_R$$

Het percentage depositie van een gewasbeschermingsmiddel kan niet rechtstreeks worden gemeten. In plaats daarvan worden doeken (collectoren) van soms wisselende groottes op verschillende afstanden van een boomgaard gelegd. Vervolgens wordt de boomgaard bespoten met water waaraan een fluorescerende vloeistof is toegevoegd. De gemeten fluorescentie van met demi-water gespoelde doeken kan dan gebruikt worden om de afstand functies  $P(x)$  voor de Test en Referentie machine te schatten waaruit vervolgens de reductie factor kan worden geschat inclusief een bijbehorend 95% betrouwbaarheidsinterval.

Een experiment waarin een Test en een Referentie machine worden vergeleken wordt binnen een zo kort mogelijke tijd als volgt uitgevoerd. Allereerst worden twee meetraaien met doeken op verschillende afstanden van de boomgaard neergelegd. De boomgaard wordt vervolgens bespoten door één van de twee machines. Na vervanging van de doeken door schone doeken wordt de boomgaard bespoten door de andere machine. De positie van de collectordoeken is dus identiek voor de Test en Referentie machine, maar de weersomstandigheden kunnen enigszins variëren. Voor elke meetraai worden de parameters van de exponentiële curve geschat, dus separaat voor de Test en de Referentie. Met behulp hiervan wordt voor elke meetraai het reductiepercentage geschat inclusief de bijbehorende standaardafwijking. Eén experiment geeft dus twee reductieschattingen (één per meetraai). Op deze wijze worden meerdere experimenten uitgevoerd, meestal op verschillende dagen maar soms ook op dezelfde dag.

De schattingen van het reductiepercentage voor elke meetraai worden gecombineerd tot één enkele schatting door een zogenaamde meta-analyse uit te voeren.

### 2.3.2 Gedetailleerde beschrijving van de methode

In onderstaande beschrijving worden de volgende symbolen gebruikt

$F_{demi}$	Gemeten fluorescentie van demiwater (eenheid: zie hieronder)
$F_{doek}$	Fluorescentie van een schone doek, wordt verondersteld constant te zijn
$x_i$	Afstand tot de buitenste bomenrij van de $i$ -de doek (m)
$A_i$	Grootte van de $i$ -de doek (m <sup>2</sup> )
$Y_i$	Gemeten fluorescentie van de $i$ -de doek
$D_i$	Verdunning behorende bij de meting $Y_i$
$F_i$	Fluorescentie van de spuitvloeistof op de $i$ -de doek
$P_i$	Percentage depositie van de spuitvloeistof op de $i$ -de doek (%)
$X_{jk}$	Geschatte reductiefactor voor meetraai $k$ in experiment $j$ (%)

De fluorescentie (zoals in bijlage 1) wordt uitgedrukt in een arbitraire eenheid, zoals afgelezen op de schaal van de fluorimeter.

De fluorescentie ( $Y_i$ ) van met demi-water gespoelde doeken wordt gemeten. Deze meting is de som van de fluorescentie van de spuitvloeistof ( $F_i$ ), van het demi-water ( $F_{demi}$ ) en van de doek zelf ( $F_{doek}$ ):  $Y_i = (F_i + F_{doek} + F_{demi})$ . In sommige gevallen, met name bij doeken op een korte afstand met een hoge depositie, is de fluorescentie te hoog om direct te kunnen meten. Dan wordt de spoelvloeistof verdund met een factor  $D_i$ ; daardoor worden zowel  $F_i$  als  $F_{doek}$  verdund, maar niet  $F_{demi}$ . De fluorescentie meting die dan resulteert is voor

$$Y_i = (F_i/D_i + F_{doek}/D_i + F_{demi})$$

Daaruit volgt dat de fluorescentie zou zijn als er niet verdund was:

$$F_i = D_i (Y_i - F_{demi}) - F_{doek}$$

Om van fluorescentie van de spuitvloeistof naar driftdepositie te komen wordt gecorrigeerd voor een ijkconstante  $K$ , een spoelvolumen  $V_s$ , de concentratie van het middel in de tank  $C$  en het oppervlakte van de doek  $A_i$ . De depositie van het middel op de doek is dan gelijk  $(F_i K V)/(C A)$ . Tenslotte vindt nog een correctie plaats voor de veldafgifte  $Q_v$  waardoor een percentage depositie  $P_i$  wordt verkregen:

$$P_i = F_i \frac{(K V_s)/(C A_i)}{(Q_v/100)} \times 100\%$$

Hieruit volgt dat de relatie tussen de fluorescentiemeting  $Y_i$  en het percentage depositie  $P_i$  gegeven wordt door

$$Y_i = (Z_i/D_i) P_i + F_{doek}/D_i + F_{demi} \quad \text{met} \quad Z_i = (Q C A_i)/(10000 K V)$$

Veronderstellen we nu een (enkel) exponentiële curve voor het percentage  $P_i$ , dan volgt:

$$Y_i = (Z_i/D_i) \beta \exp(-\delta x_i) + F_{doek}/D_i + F_{demi}$$

of, equivalent, met voor doek gecorrigeerde fluorescentie waarnemingen  $Y_i^*$

$$Y_i^* = Y_i - F_{doek}/D_i = (Z_i/D_i) \beta \exp(-\delta x_i) + F_{demi}$$

Voor de dubbel exponentiële curve zijn vergelijkbare betrekkingen af te leiden.

De gecorrigeerde waargenomen fluorescenties  $Y_i^*$  worden, samen met herhaalde waarnemingen aan demi-water die uitgevoerd zijn in dezelfde meetreeks, gebruikt om de parameters  $\beta$  en  $\delta$  van de curve  $P(x)$  en de parameter  $F_{demi}$  te schatten. Dit wordt separaat gedaan voor de Test en de Referentie machine en separaat voor elke meetraai omdat de fluorescenties van de doeken van beide machines in de regel op verschillende dagen of in verschillende meetreeksen zijn gemeten. Voor waarnemingen aan Test machines is een enkel exponentiële curve  $P_1(x)$  gebruikt, voor de Referentie machines een dubbel exponentiële curve  $P_2(x)$ . Omdat de variatie in de waarnemingen  $Y_i^*$  toeneemt met het niveau worden gamma verdeelde fouten verondersteld bij het aanpassen van de exponentiële curven. De geschatte parameters, en hun standaardafwijkingen, worden vervolgens gebruikt om voor elke meetraai de reductiefactor te schatten inclusief een 95% betrouwbaarheidsinterval. Dit interval wordt verkregen door toepassing van de zogenaamde deltamethode op de logitschaal waarna het interval terug-getransformeerd wordt naar de percentageschaal.

De integraal  $Q_M$  voor de enkel en dubbel exponentiële curve tussen  $a$  (4.5 m) en  $b$  (5.5 m) wordt gegeven door

$$Q_1 = \beta [\exp(-\delta a) - \exp(-\delta b)]/\delta$$

$$Q_2 = \beta_1 [\exp(-\delta_1 a) - \exp(-\delta_1 b)]/\delta_1 + \beta_2 [\exp(-\delta_2 a) - \exp(-\delta_2 b)]/\delta_2$$

### 2.3.3 Meta-analyse

De geschatte reductiefactoren  $X_{jk}$  met bijbehorende varianties  $V_{jk}$  worden onderworpen aan een meta-analyse om zo tot één enkele schatting te komen van de reductiefactor van een Test machine. Hierbij worden de individuele schattingen gewogen met hun standaardafwijking waardoor nauwkeurige schattingen (met een kleiner betrouwbaarheidsinterval) zwaarder wegen dan onnauwkeurige schattingen. De meta-analyse wordt uitgevoerd op de logit-getransformeerde reductiefactoren omdat normaliteit op de logitschaal beter gewaarborgd is dan op de percentageschaal, met name als de reducties dichtbij de 100% liggen. In de analyse wordt een onderscheid gemaakt in de variatie tussen experimenten en de variatie tussen meetraaien binnen een experiment. De meta-analyse wordt uitgevoerd met het R package "metafor" met de volgende programma regel:

```
rma.mv(yi = logit_Xjk, V = logit_Vjk, random = ~ 1 | experiment/meetraai)
```

De geschatte constante in dit metamodel en het bijbehorende 95% betrouwbaarheidsinterval worden vervolgens terug-getransformeerd naar de percentageschaal en dat geeft het uiteindelijke resultaat van de statistische analyse.

### 2.3.4 Opmerkingen bij de methode

1. In bovenstaande benadering worden de gemeten fluorescenties zelf gemodelleerd waarbij de achtergrond fluorescentie  $F_{demi}$  een onderdeel is van het statistische model.
2. In de berekening van de gecorrigeerde fluorescentie  $Y_i^*$  wordt verondersteld dat de fluorescentie  $F_{doek}$  van een doek bekend is. Deze is echter ook gemeten en bevat dus meetvariatie.  $F_{doek}$  is echter klein, kleiner dan 500, ten opzichte van de gemeten fluorescenties  $Y_i$  die in het algemeen groter zijn dan 8000. Daarom mag veilig verondersteld worden dat  $F_{doek}$  bekend is (d.w.z. de variatie erin mag verwaarloosd worden).
3. De doekwaarde  $F_{doek}$  wordt niet in elke meetreeks opnieuw gemeten. Voor experimenten uitgevoerd in 2019 wordt een gemiddelde doekwaarde van 159 gebruikt, met uitzondering van de experimenten gecodeerd door 3-1-2019 en 3-2-2019 waarbij een andere n fluorescentiemeter is gebruikt met een doekwaarde van 0.609. Voor experimenten uitgevoerd in 2021 wordt de doekwaarde 340 gebruikt. De precieze waarde van  $F_{doek}$  heeft een zeer beperkte invloed op de uiteindelijke resultaten (opmerking 2).

- 
4. Doeken van de twee meettraaien van een Test machine in hetzelfde experiment worden in één fluorescentie meetreeks geanalyseerd met de fluorimeter. Doeken van de meettraaien van een Referentie machine vormen ook één meetreeks, maar deze meetreeks kan op een andere dag zijn geanalyseerd. In elke meetreeks wordt ook de ijkfactor  $K$  bepaald (een karakteristieke waarde van de fluorimeter, welke van dag tot dag iets kan variëren); deze wordt voor de betreffende meetreeks constant verondersteld. Ook wordt in elke meetreeks een aantal, meestal 4, herhaalde fluorescentiewaarnemingen aan demi-water gedaan.
  5. Sommige fluorescenties zijn gemeten na een verdunning waardoor de metingen niet goed vergelijkbaar zijn met de andere (onverdunde) fluorescenties. Daarom worden in de grafieken met de aangepaste exponentiële curves de verdunde metingen weergegeven als  $D_i (F_i - M) + M$  waarin  $M$  het gemiddelde is van de demi-water fluorescenties in de betreffende meetreeks.
  6. In de schattingsmethode wordt niet  $\delta$  zelf geschat maar  $\delta^*$  met  $\delta = \exp(\delta^*)$ . Hierdoor is de schatting voor  $\delta$  altijd positief. Voor Referentie machines, met een dubbel exponentiële curve, bleek de schatting voor de kleinste  $\delta^*$  soms naar min oneindig te gaan, en  $\delta$  zelf dus naar nul, met problemen voor het algoritme om de curve aan te passen. Daarom is er een ondergrens gehanteerd van 0.001 voor  $\delta$ . Een dergelijk kleine waarde geeft een zeer langzame convergentie naar de asymptoot van de exponentiële curve voor  $Y_i^*$ .
  7. Voor één referentie meetreeks, gecodeerd 3-5-2021/2, bleek de schatting voor een van de  $\beta$ 's negatief. Dat resulteerde in een niet monotone curve die door de asymptoot zakt en vervolgens van onderaf de asymptoot nadert. Voor relevante afstanden past de curve echter zeer goed en daarom vormt dit geen probleem.
  8. De meta-analyse van de reductiefactoren geeft aan dat het zinvol is om een onderscheid te maken in de variantie tussen experimenten en de variantie binnen experimenten. De (geschatte) correlatie tussen reducties in hetzelfde experiment is 0.76.

In Bijlage 1 worden voor alle experimenten grafieken getoond met daarin de meetwaarden en gefitte curves van het statistische model.

## 2.4 Weersomstandigheden

Tijdens de bespuitingen werden de weersomstandigheden vastgelegd door meting van de temperatuur (Pt100 op 0,5 m en 4 m hoogte), de luchtvochtigheid (% RV met een Rhotronic op 1,5 m hoogte), de windrichting ( $0^\circ$  = haaks t.o.v. de bomenrijen) op 10 m hoogte en de windsnelheid (cupanemometers op 0,5, 2, 3, 4 en 10 m hoogte) met een tijdsinterval van 5 seconden.

De meteomast stond op 7,5 m afstand vanaf de buitenste bomenrij (figuur 2.7). Bij elke passage van de spuit ter hoogte de meetopstellingen werd de tijd van de datalogger genoteerd. Later werd uit de verzamelde data vanuit dit passagetijdstip over 10 seconden vóór en 10 seconden ná passeertijdstip de meetwaarde gemiddeld. In Bijlage II staan de resultaten van de metingen van de weersomstandigheden vermeld.

De experimenten werden uitgevoerd in 2019 en 2021. In 2019 was dat op 22 augustus, 29 oktober en 15 november. In 2021 werden de metingen uitgevoerd op 29 juli, 13 augustus en 18 augustus. In totaal werden 12 herhalingen gemeten. Alle metingen voldoen voor de windsnelheid en -richting aan de eisen van het meetprotocol (TCT, 2017b) behalve dat bij herhaling 3 in 2019 bij de Wanner de windhoek  $-34$  graden was. Deze meting inclusief de bijbehorende standaard zijn niet meegenomen in de berekeningen.

De gemiddelde weersomstandigheden van de metingen (11 herhalingen) staan in tabel 2.4.

**Tabel 2.4** Gemiddelde weersomstandigheden voor de verschillende technieken tijdens de driftmetingen.

techniek	n-herhalingen	temperatuur [ $^\circ\text{C}$ ] op		% RV	windhoek tov haaks	windsnelheid [m/s] op				
		0,5 m	4 m			0,5 m	2 m	3 m	4 m	10 m
Standaard	11	18,5	17,3	60	-8	1,0	1,6	2,3	2,8	4,6
Wanner	11	17,8	17,0	58	-9	1,1	1,7	2,5	3,0	4,7
<b>gemiddeld</b>		18,2	17,2	59	-8	1,0	1,6	2,4	2,9	4,6

Tijdens de driftmetingen was de gemiddelde temperatuur  $17,2^\circ\text{C}$  (op 4 m hoogte), de gemiddelde windhoek  $-8^\circ$  ten opzichte van loodrecht op de bomenrij en de gemiddelde windsnelheid op 2 m hoogte 1,6 m/s en op 4 m hoogte (ongeveer 1 m boven de bomen) 2,9 m/s.

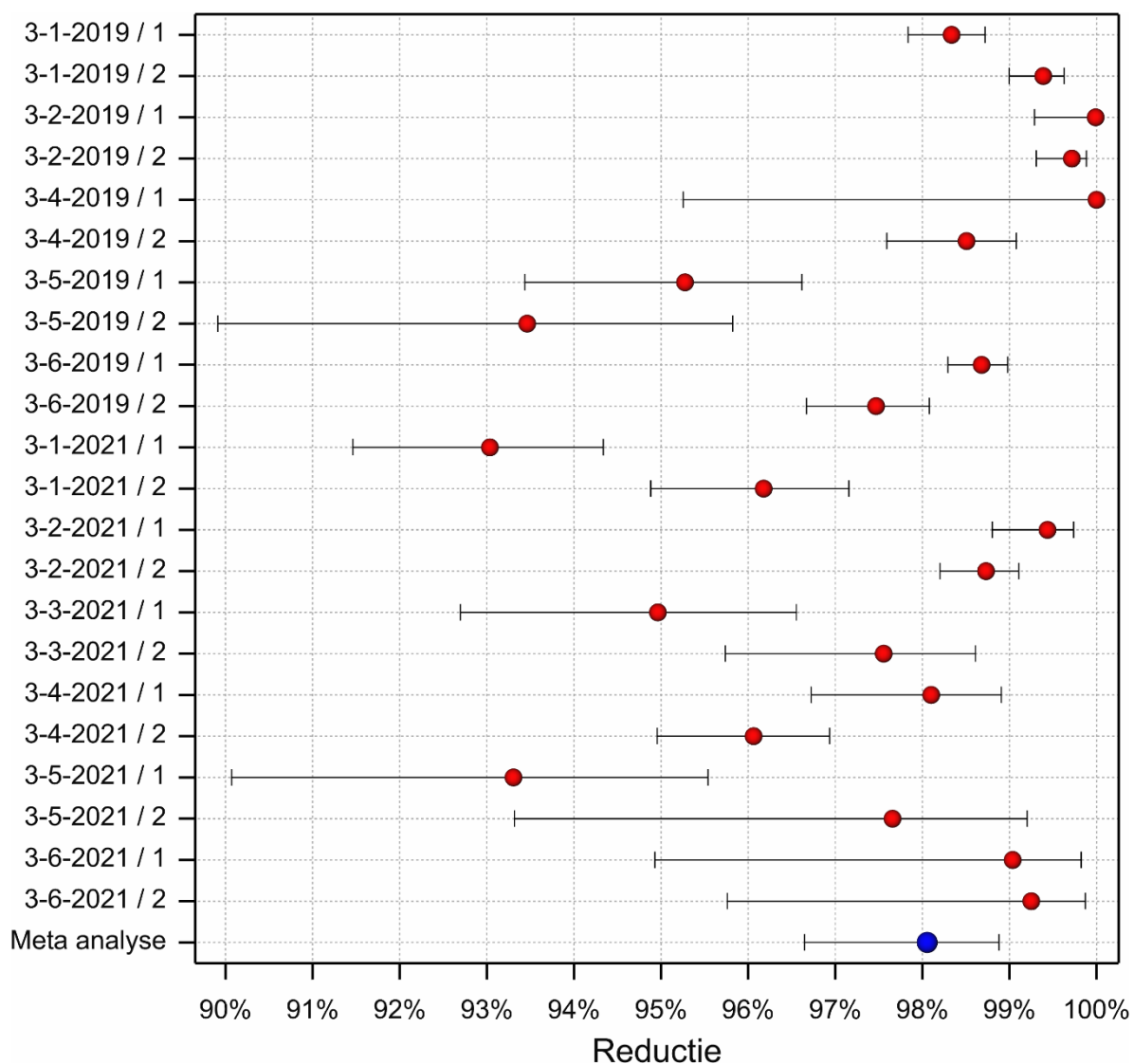




### 3 Resultaten

De gemeten driftreductie op de evaluatiestrook (4,5-5,5 m) tijdens bespuitingen in de volbladsituatie (BBCH 75-91) staat weergegeven in figuur 3.1, de getallen staan in bijlage 1.

Meting 3-3-2019 is niet meegenomen in de analyse (figuur 3.1) omdat de windrichting niet bleek te voldoen aan de eisen (zie paragraaf 2.4). Verder zijn alle gemeten waarden opgenomen in de resultaten.



**Figuur 3.1** De driftreductie op de evaluatiestrook van de verschillende herhalingen van de meting. Elke meetraai is apart weergegeven, 2 waardes per meting. De meetraaien zijn gecodeerd als: object nr – herhaling – jaar / meetraai. Voor elke meting is de geschatte reductie inclusief een 95% betrouwbaarheidsinterval gegeven. De meta-analyse geeft een geschatte (gemiddelde) driftreductie van 98.1%.

De Wanner NTR 20 2-rijen dwarsstroomspuit met reflectieschermen en luchtregelingssysteem, Lechler IDK 90-0067 C Spuitdoppen bij 7 bar spuitdruk (DRD 75, TCT, 2022), de richting van de luchtstroom op basis van windrichting, hoeveelheid lucht op basis van windsterkte en windrichting, bovenzijde afgedekt, ventilator ingesteld op 700 rpm geeft in alle herhalingen meer dan 93% driftreductie ten opzichte van de referentie machine. Gemiddeld genomen is de driftreductie 98.1%

---

(betrouwbaarheidsinterval 96.6 - 98.9). De Test en Referentie machine zijn significant verschillend bij een onbetrouwbaarheidsdrempel van 5%.

---

## 4 Discussie en conclusie

De geschatte driftreductie van de Wanner dwarsstroomspruit met reflectieschermen ten opzichte van een referentie machine is gelijk aan 98.1% op de evaluatiestrook 4,5-5,5 m vanaf de buitenste bomenrij. Het 95% betrouwbaarheidsinterval loopt daarbij van 96.6% tot 98.9%. Deze driftreductie is gebaseerd op herhaalde bespuitingen van een appelboomgaard in het volbladstadium (BBCH 75-91). De specificaties van de gebruikte Wanner NTR 20 2-rijen dwarsstroomspruit met reflectieschermen en luchtregelingssysteem zijn als volgt: IDK 90-0067 C Spuitdoppen bij 7 bar spuitdruk (DRD 75, TCT, 2022), richting van de luchtstroom op basis van windrichting, hoeveelheid lucht op basis van windsterkte en windrichting, bovenzijde afgedekt, ventilator ingesteld op 700 rpm.



---

# Literatuur

- Ctgb, 2021. Evaluation Manual for the Authorisation of Plant protection products and Biocides according to Regulation (EC) No 1107/2009 NL part Plant protection products Chapter 6 Fate and behaviour in the environment: behaviour in surface water and sediment version 2.6; August 2021. <http://www.ctgb.nl/>
- EZ, 2013. Gezonde Groei, Duurzame Oogst. Tweede nota duurzame gewasbescherming, periode 2013 tot 2023. Ministerie van Economische Zaken, Den Haag. 2013. 46p.
- Gezondheidsraad, 2014. Gewasbescherming en omwonenden. Gezondheidsraad, publicatienr. 2014/02, Den Haag. 2014. 194p.
- Huijsmans, J.F.M., H.A.J. Porskamp & J.C. van de Zande, 1997. Drift(beperking) bij de toediening van gewasbeschermingsmiddelen. Evaluatie van de drift van spuitvloeistof bij bespuitingen in de fruitteelt, de volveldsteelten en de boomteelt (stand van zaken december 1996). IMAG-DLO Rapport 97-04, IMAG, Wageningen, 38 pp.
- I&W, 2017. Regeling van de Staatssecretaris van Infrastructuur en Waterstaat, van 10 november 2017, nr. IENM/BSK-2017/254105, tot wijziging van de Activiteitenregeling in verband met de vermindering van emissies van gewasbeschermingsmiddelen in de glastuinbouw en open teelten. Staatscourant 2017 Nr. 60506
- ISO 22866, 2005. Equipment for crop protection – Methods for the field measurement of spray drift. International Standardisation Organisation, Geneva. 2005.
- ISO-22369, 2006. Crop protection equipment – Drift classification of spraying equipment. Part 1. Classes. International Organization for Standardization, Geneva.
- Michielsen, J.M.G.P., Wenneker, M., Zande, JC van de & Heijne, B., 2007. Contribution of individual row sprayings to airborne drift spraying an apple orchard. In: E. Gil, F. Solanelles, S. Planas, J.R. Rossell & L. Val (eds). 8th Workshop on Spray Application Techniques in Fruit Growing June 2005 Barcelona, Book of Abstracts, Universitat Politècnica de Catalunya, Generalitat de Catalunya, Universitat de Lleida, Barcelona, 2007. p.37-46
- TCT, 2017. Meetprotocol vaststellen driftreductie spuittechnieken [versie 1 juli 2017]. [<https://www.helpdeskwater.nl/onderwerpen/emissiebeheer/agrarisch/open-teelt/driftreducerende/>]
- TCT, 2021a. Lijst met indeling van spuittechnieken in Driftreducerende Techniek-klassen (DRT-klassen) (DRT lijst). Versie 6 december 2021. [<https://www.helpdeskwater.nl/onderwerpen/emissiebeheer/agrarisch/open-teelt/driftreducerende/>]
- TCT, 2021b. Informatieblad Wanner NTR20 dwarsstroomspruit 2-rijer met reflectieschermen. Versie 2 december 2021. [<https://www.helpdeskwater.nl/onderwerpen/emissiebeheer/@199605/3-zijwaartse/>]
- TCT, 2022. Lijst met indeling van spuitdoppen in Driftreducerende Dop-klassen (DRD-klassen) (DRD-lijst). Versie 11 januari 2022. [<https://www.helpdeskwater.nl/onderwerpen/emissiebeheer/agrarisch/open-teelt/driftreducerende/>]
- Zande, J.C. van de, M.C. Butler Ellis, M. Wenneker, P.J. Walklate & M. Kennedy, 2014. Spray drift and bystander risk from fruit crop spraying. International Advances in Pesticide Application, Aspects of Applied Biology 122, 2014. p. 177-186.

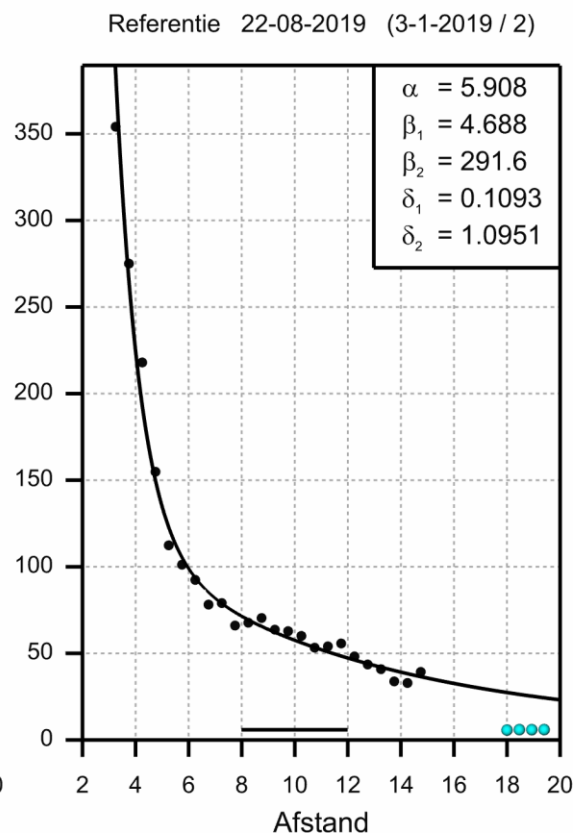
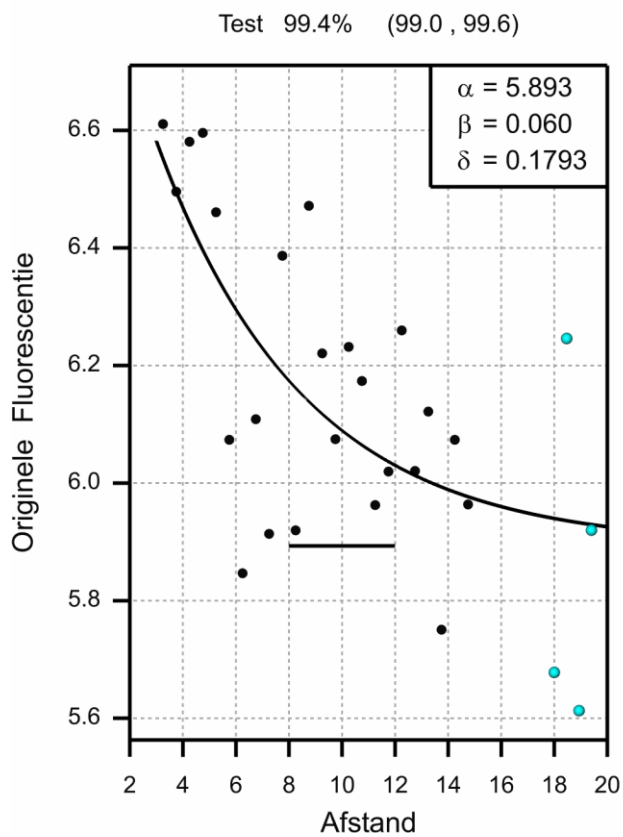
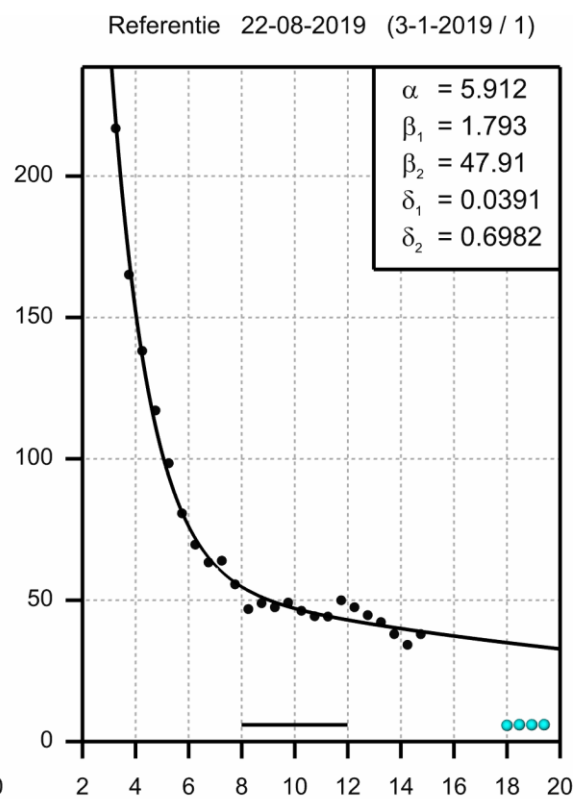
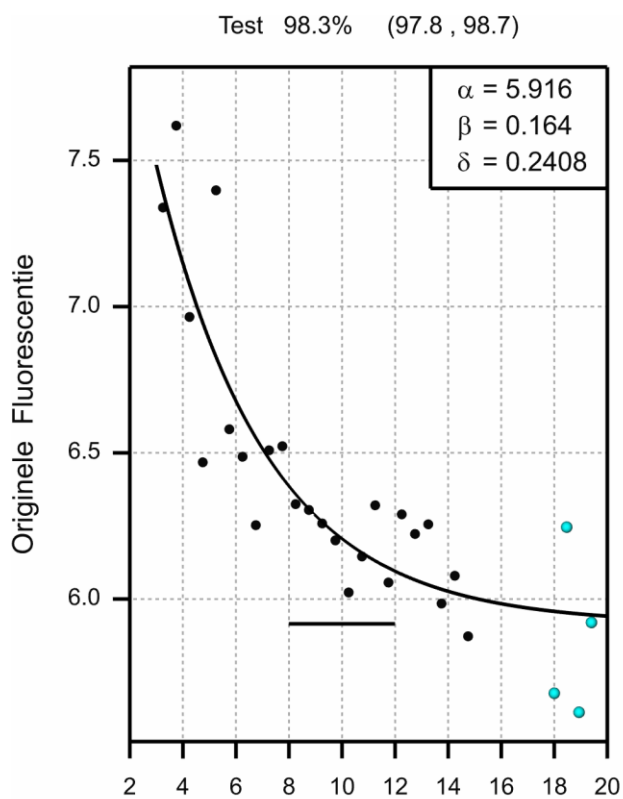


---

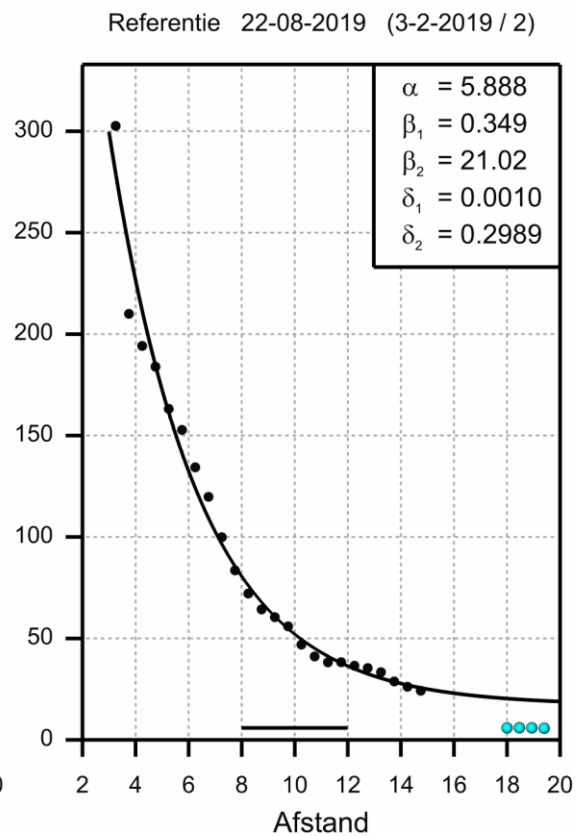
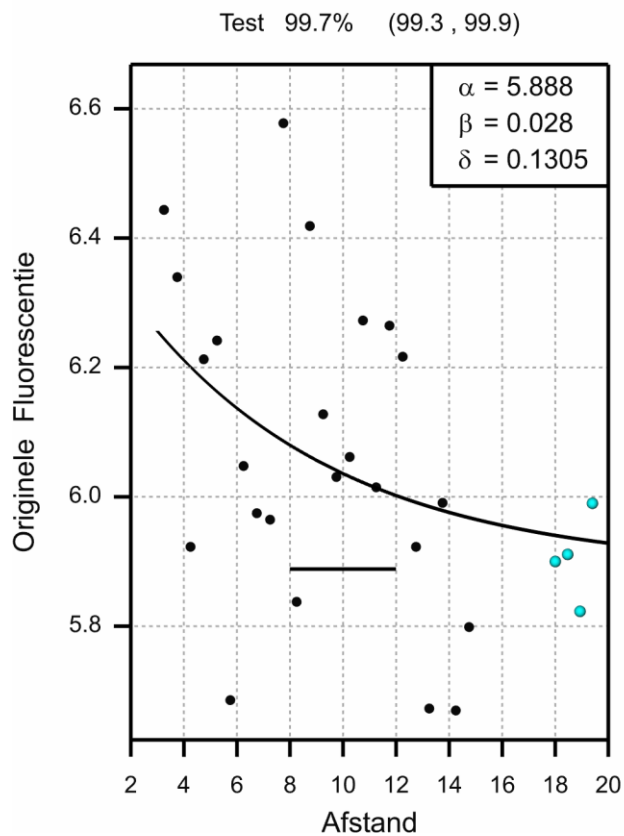
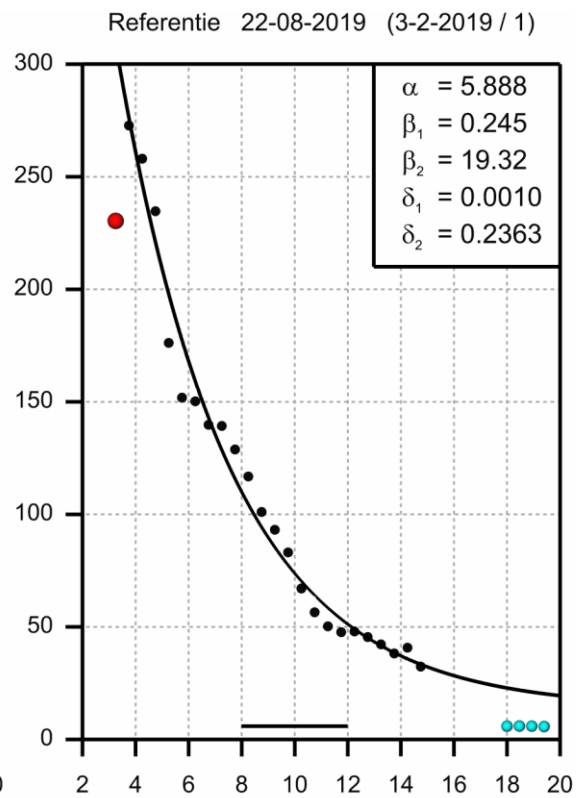
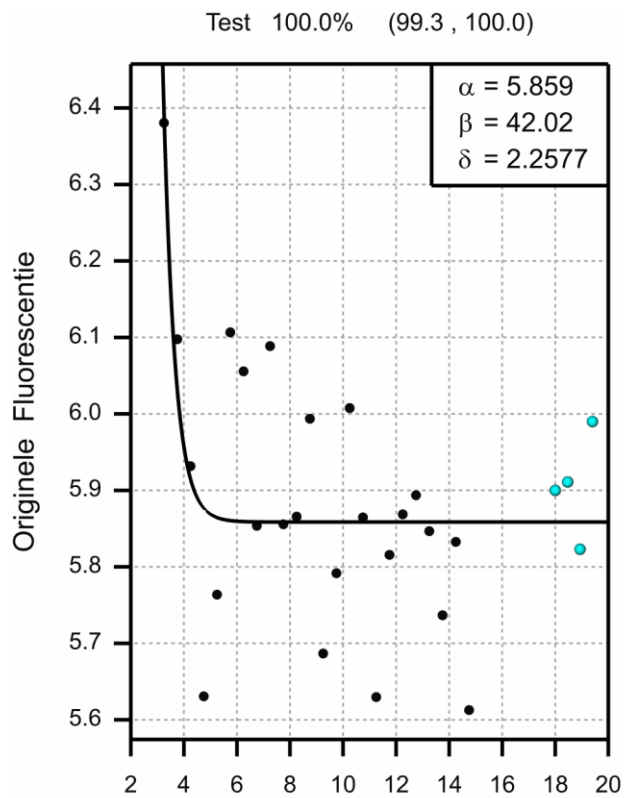
# Bijlage 1    Geschatte exponentiële curves

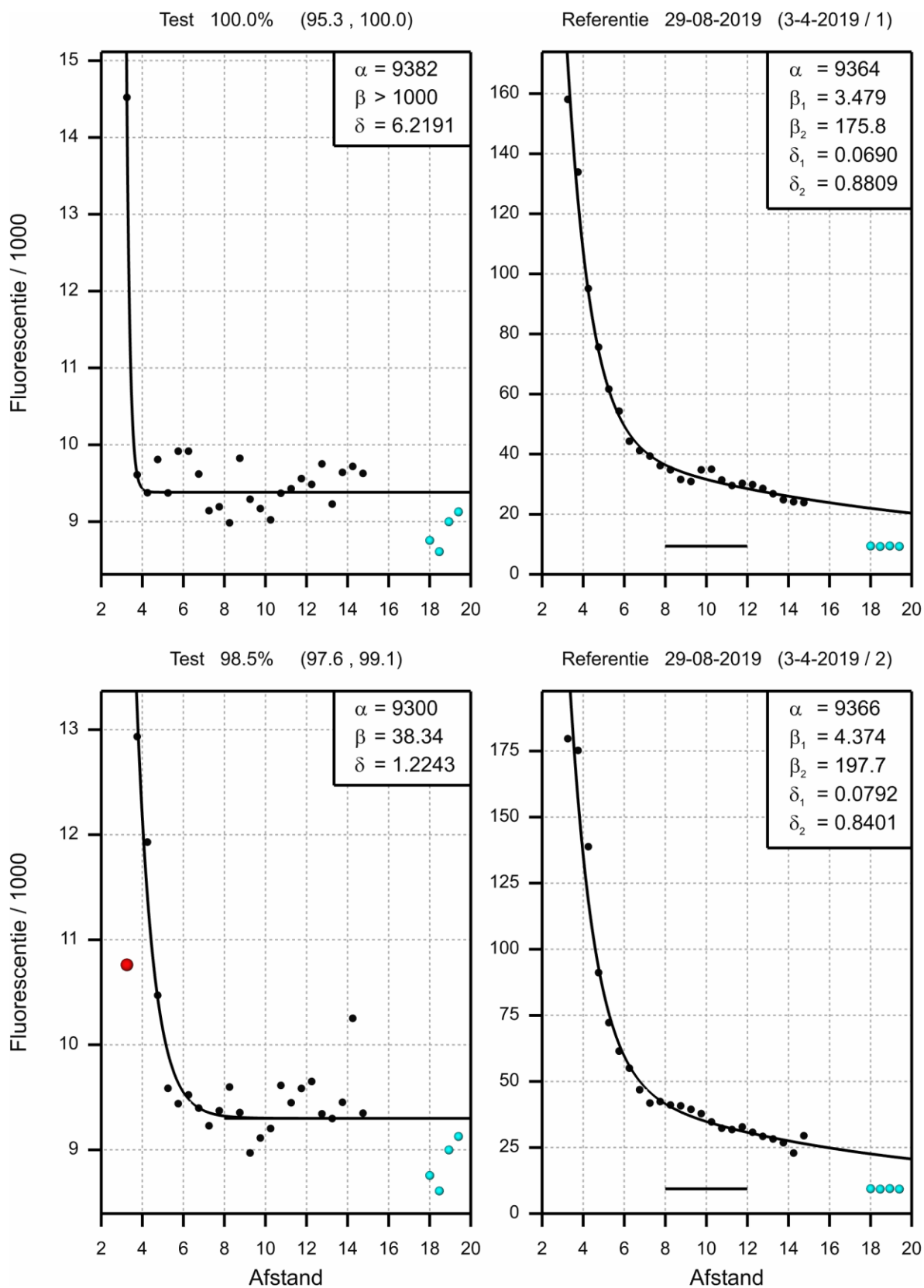
Op elke pagina staat 1 meting, boven de figuren voor meetraai 1, onder voor meetraai 2. Links staan de figuren voor de test machine en rechts voor de bijbehorende referentie. Boven de test figuren staat de geschatte driftreductie voor de specifieke meetraai en, tussen haakjes, het bijbehorende betrouwbaarheidsinterval. Boven de referentie figuur staat de datum van de meting en het nummer van de meting (tussen haakjes, objectnummer – herhaling – jaartal / meetraai).

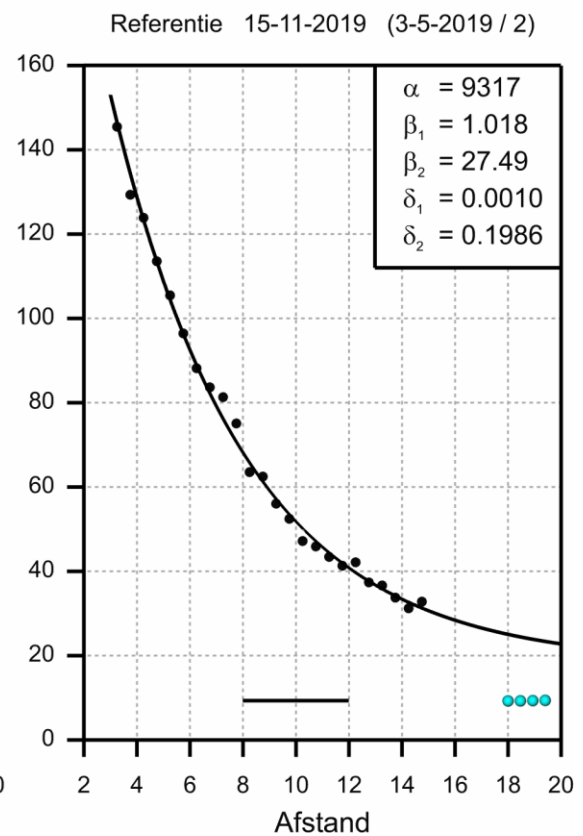
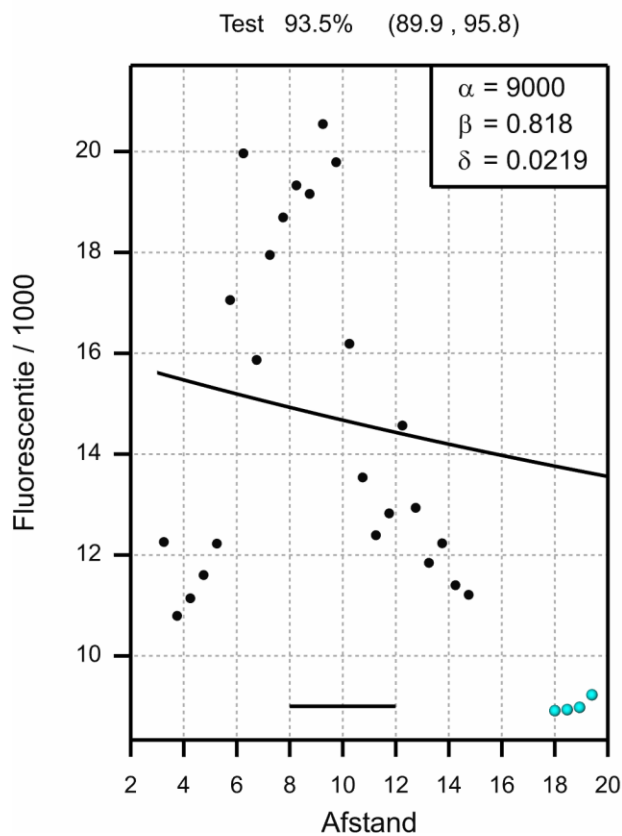
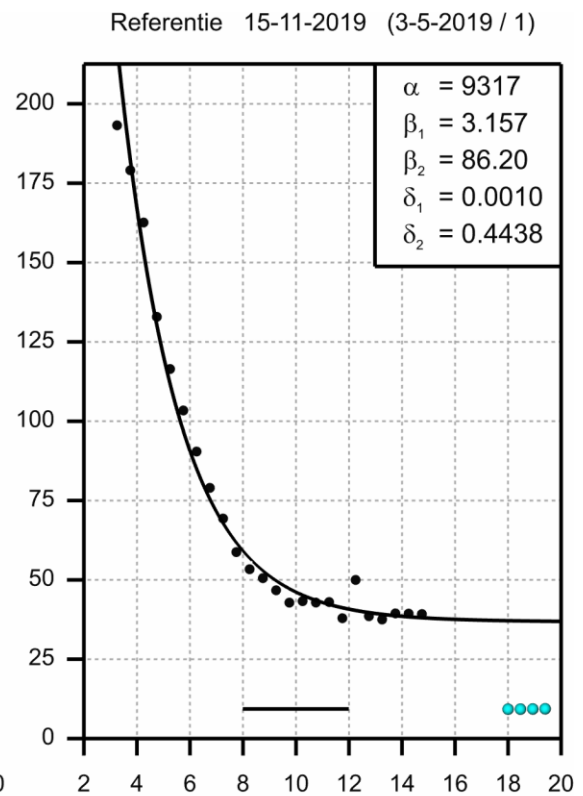
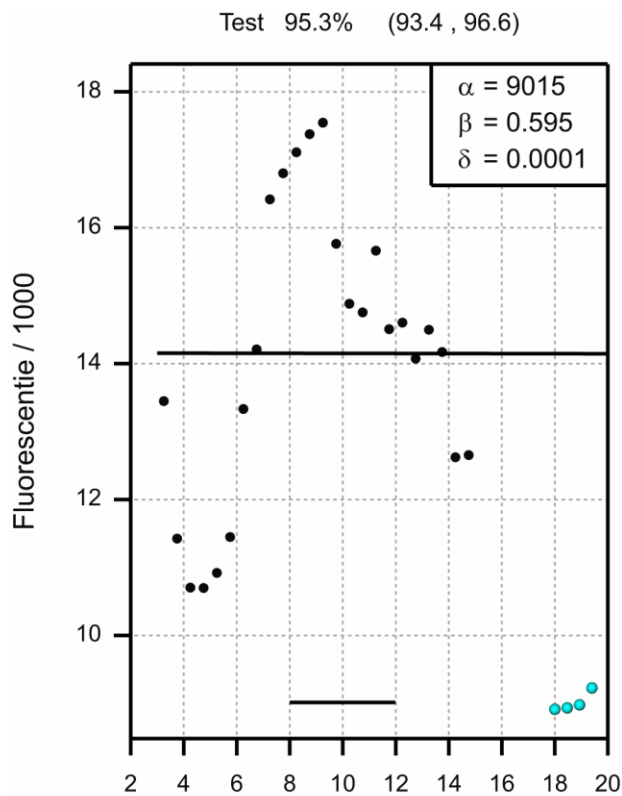
In elke figuur staan de geschatte parameters van de curve in de rechterbovenhoek. De meetwaarden zijn de zwarte bollen, eventuele rode bollen zijn weggelaten meetwaarden, de blauwe bollen zijn de demi water waardes behorende bij de betreffende meting, de afstand waarop deze zijn weergegeven is fictief, de bijbehorende afstand conform het exponentiële model is eigenlijk oneindig. Het zwarte streepje wat van 8 tot 12 meter in de figuren is weergegeven is de asymptoot waar de gefitte lijn naartoe loopt, dit komt overeen met de alpha parameter.

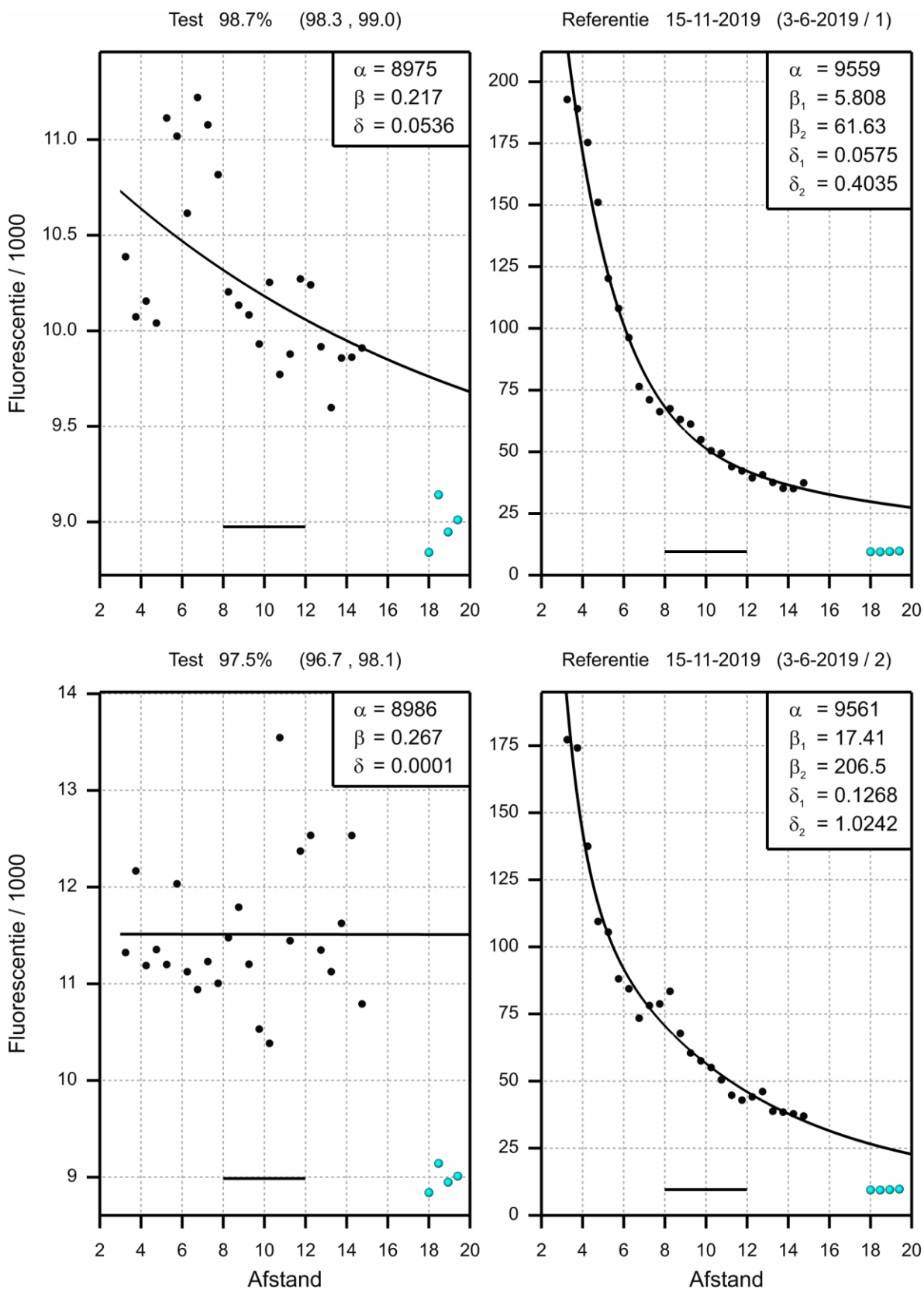


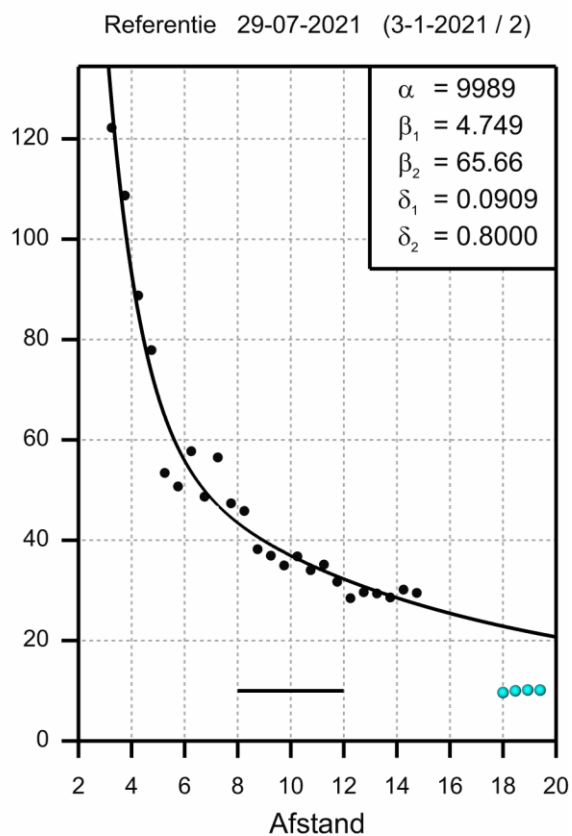
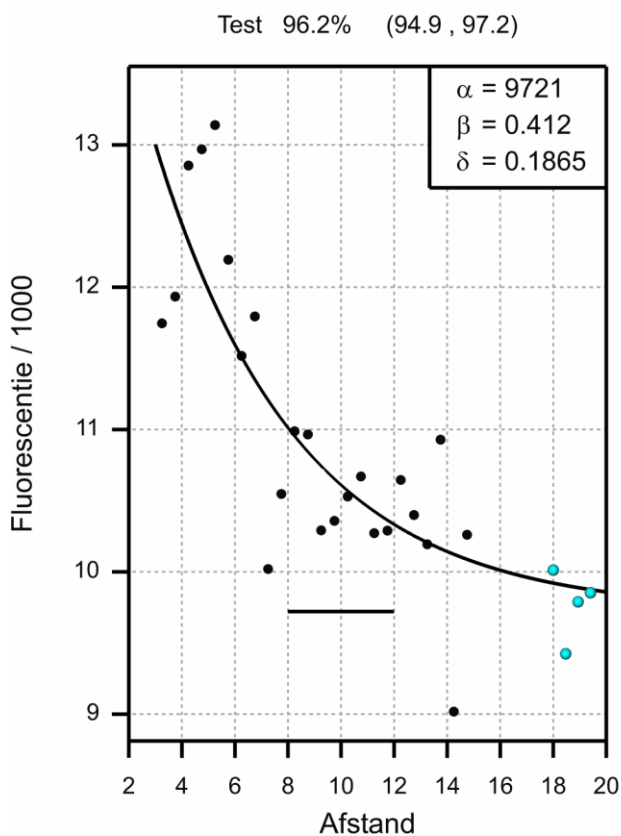
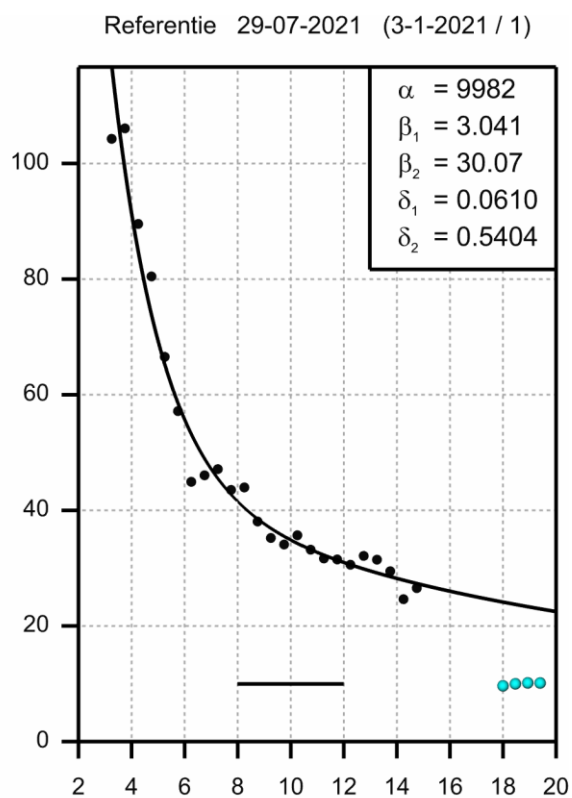
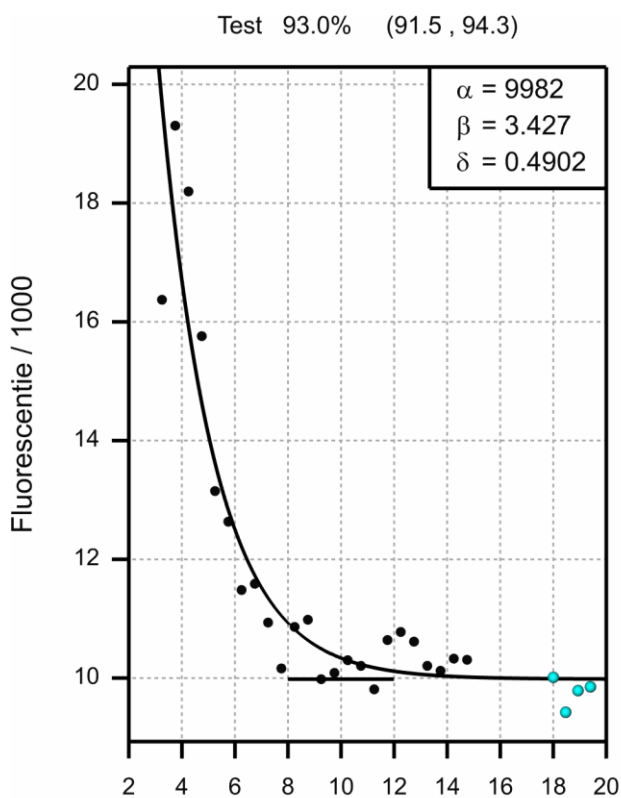


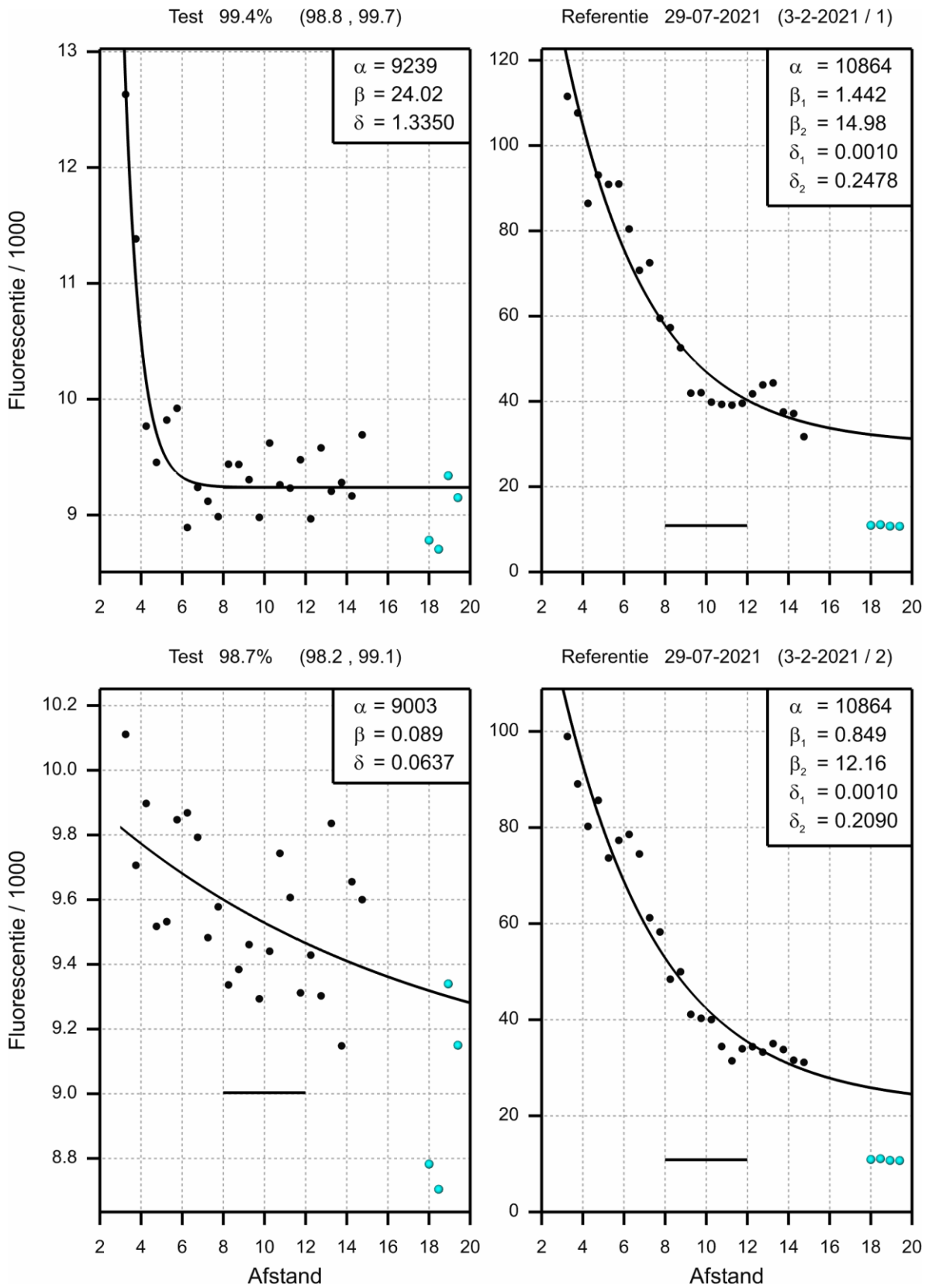


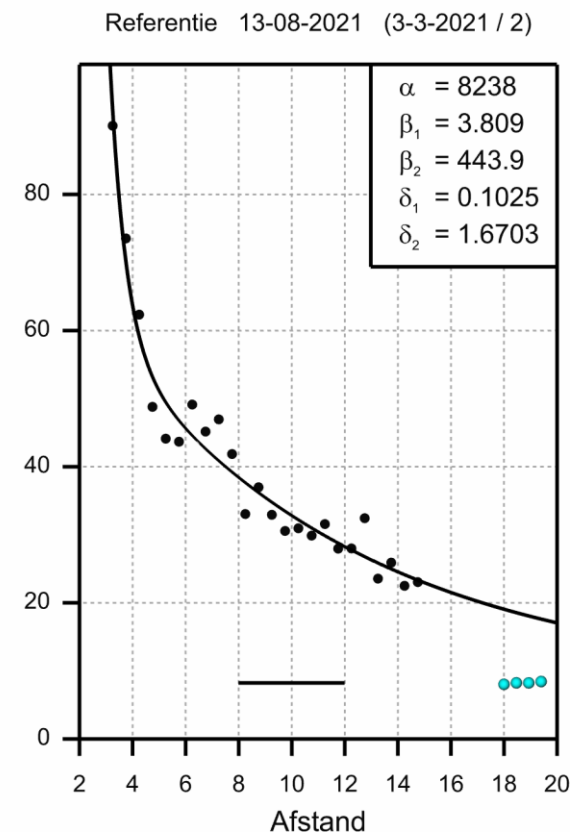
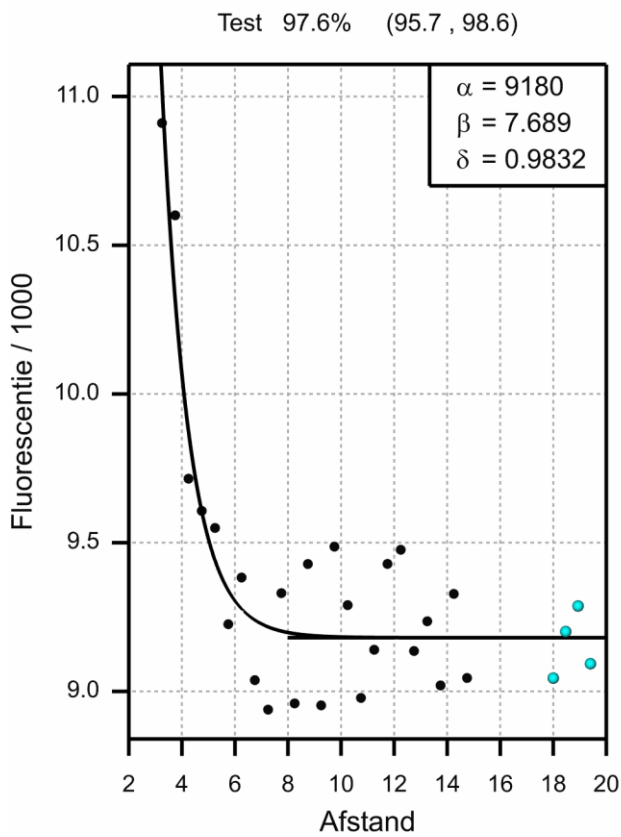
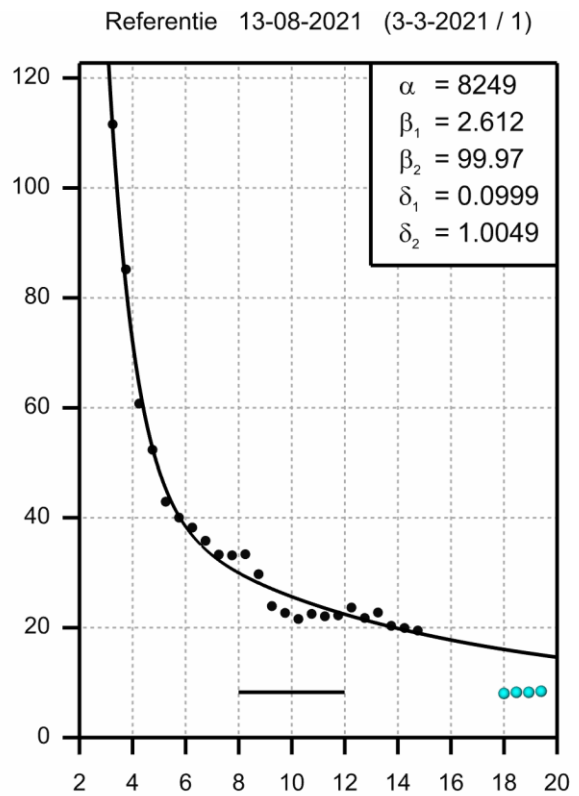
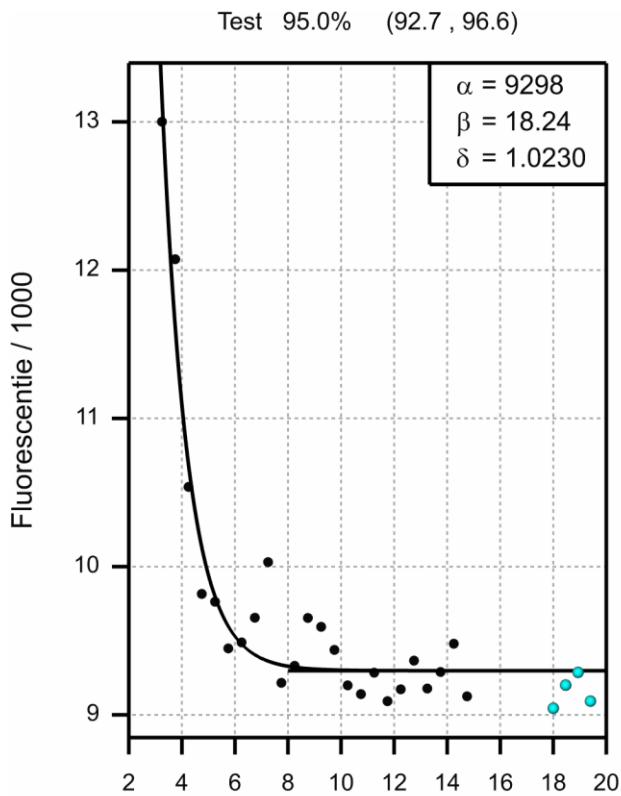


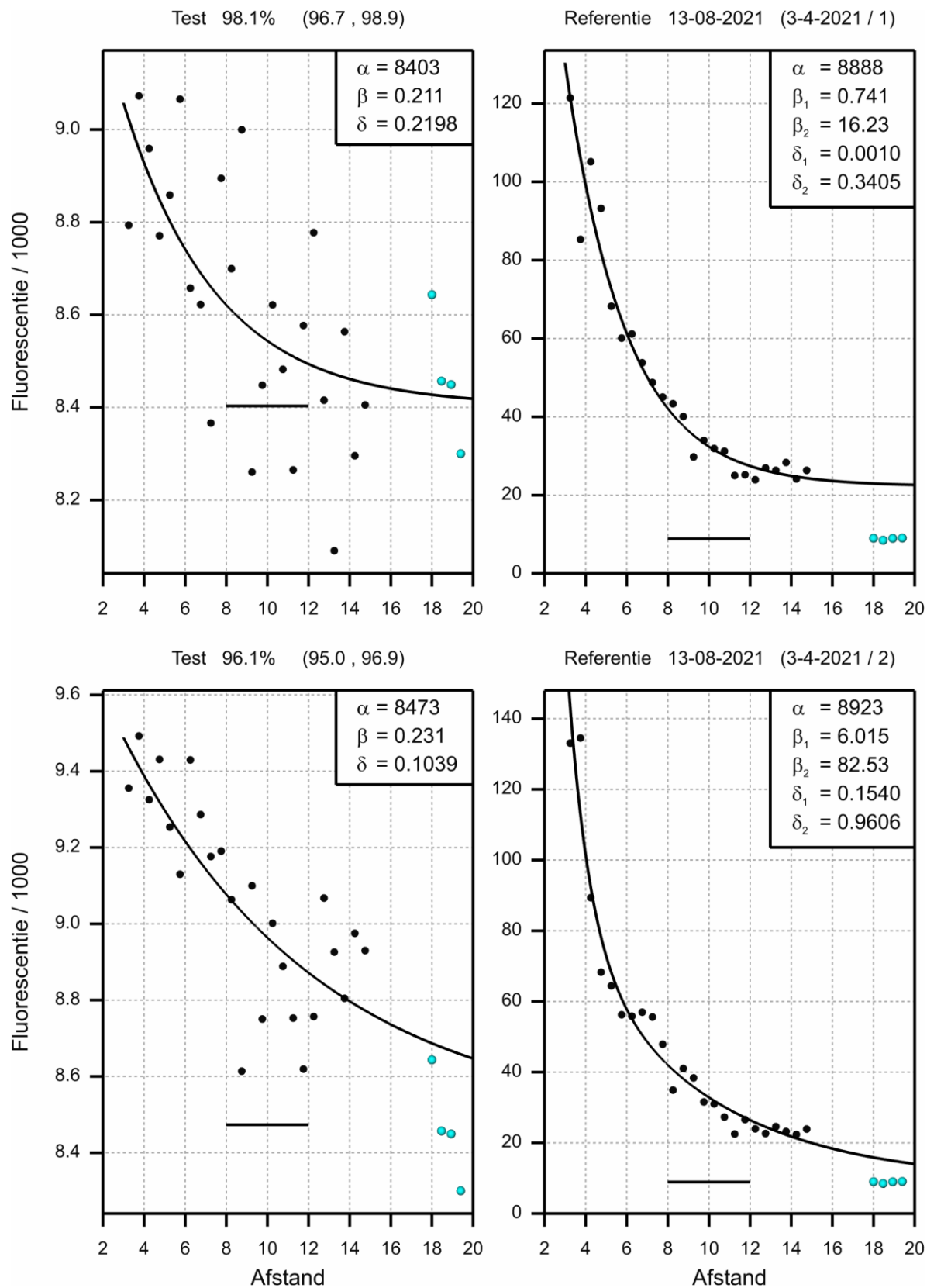




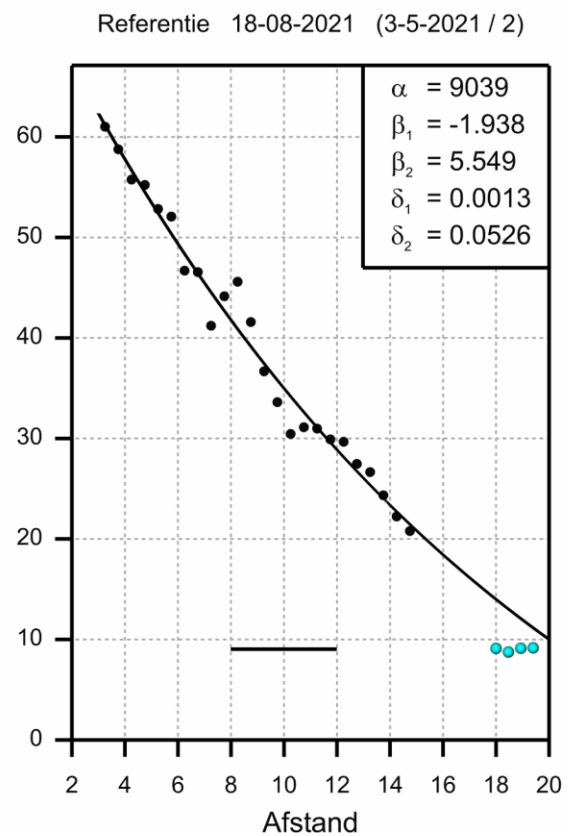
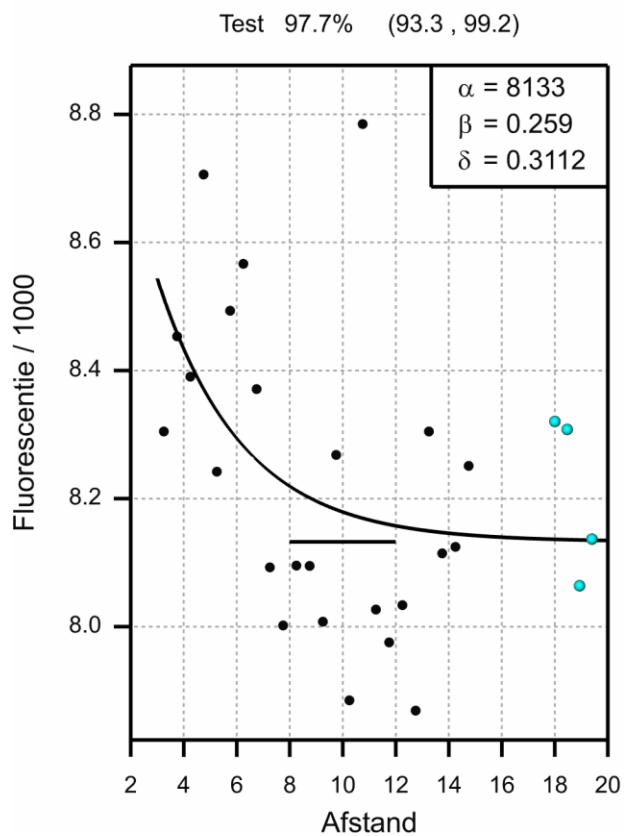
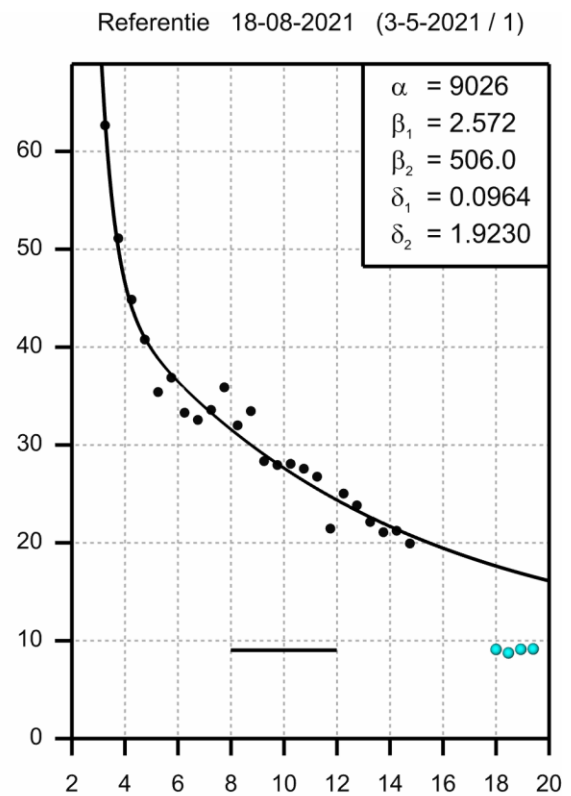
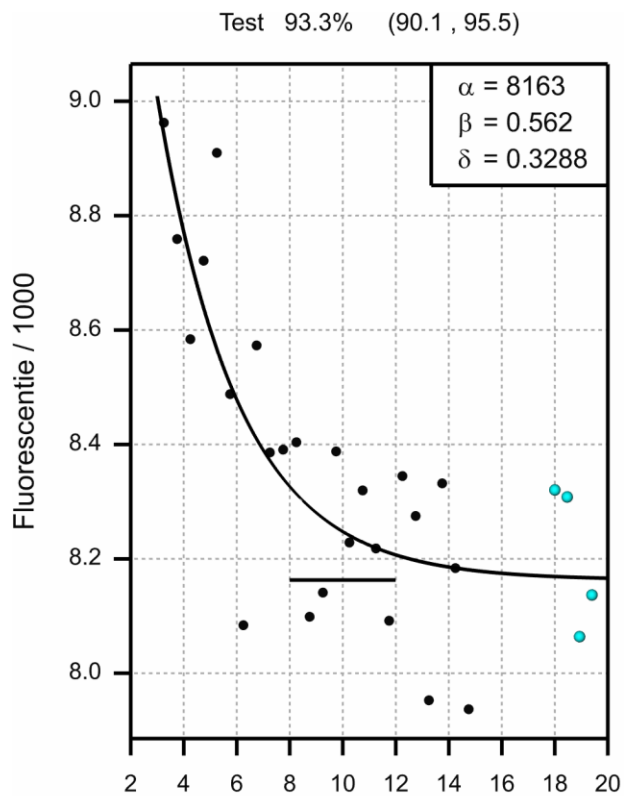


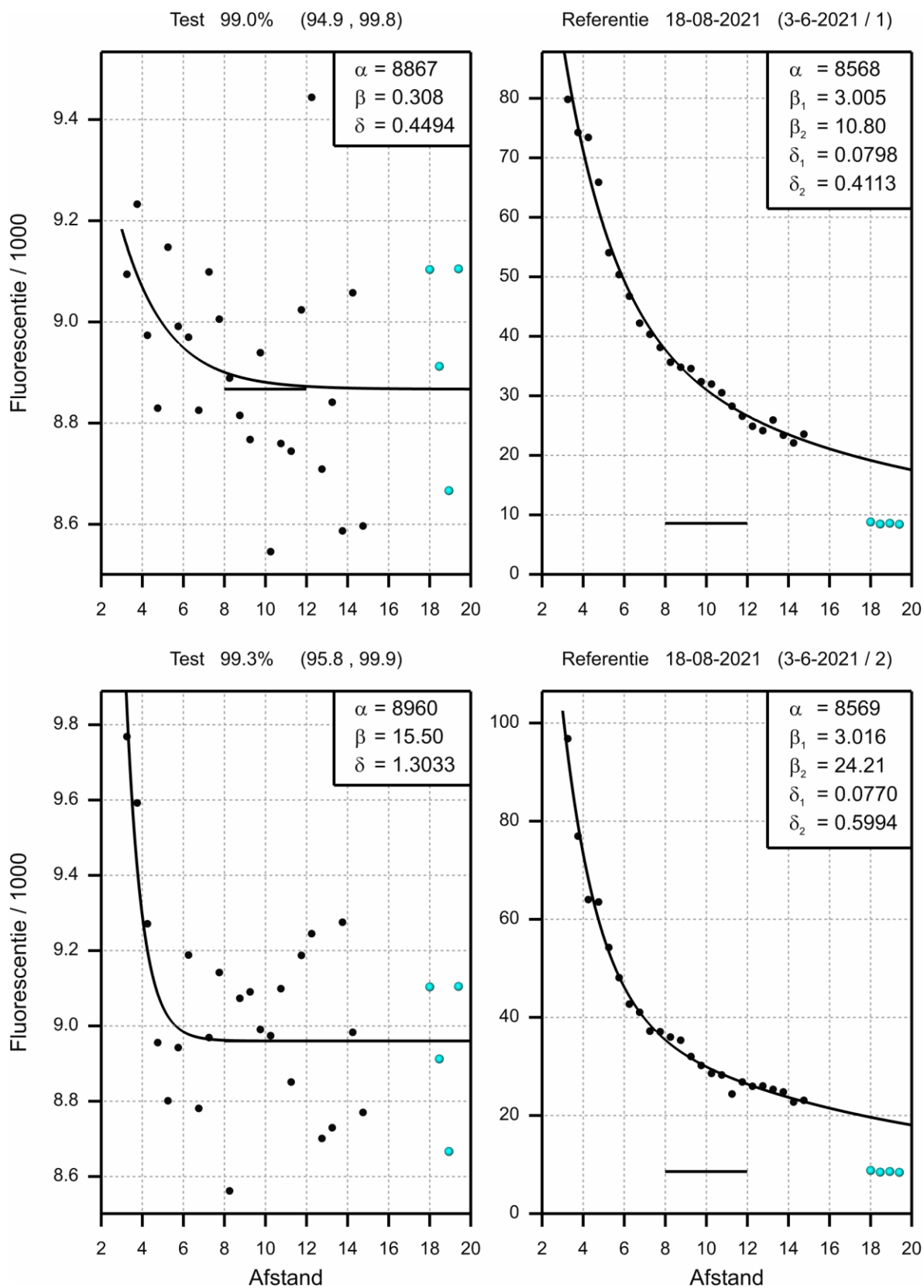












## Bijlage 2 Weersomstandigheden tijdens de driftmetingen

techniek	datum		temperatuur [°C] op		RV	windhoek tov haaks	windsnelheid [m/s] op				
		#	0,5 m	4 m	%	haaks=0°	0,5 m	2 m	3 m	4 m	10 m
Standaard	22 augustus 2019	3-1-2019	26,9	24,5	39	-12	0,9	1,4	2,1	2,4	3,5
		3-2-2019	27,0	24,5	40	-11	1,0	1,4	2,0	2,3	3,5
	29 oktober 2019	3-3-2019	11,0	10,5	60	-16	0,7	0,9	1,2	1,4	2,3
		3-4-2019	10,9	10,5	60	-21	0,6	0,8	1,1	1,4	2,1
	15 november 2019	3-5-2019	5,6	5,6	77	1	1,0	1,3	2,0	2,5	4,1
		3-6-2019	5,6	5,6	77	-1	1,1	1,4	2,1	2,7	4,4
	29 juli 2021	3-1-2021	21,4	19,6	61	-16	1,2	1,9	2,6	3,0	4,5
		3-2-2021	21,5	20,6	44	5	1,2	2,0	3,1	3,5	6,4
	13 augustus 2021	3-3-2021	22,1	20,1	63	-10	0,9	1,7	2,6	3,2	5,5
		3-4-2021	23,7	22,0	55	10	1,1	2,0	3,0	3,6	6,1
	18 augustus 2021	3-5-2021	19,5	18,4	74	-24	1,0	1,6	2,2	2,5	4,4
		3-6-2021	19,2	19,0	66	-4	1,0	1,9	2,9	3,3	5,6
Wanner	22 augustus 2019	3-1-2019	26,1	24,4	43	-13	0,8	1,2	1,8	2,2	3,5
		3-2-2019	26,5	24,5	43	-16	0,9	1,2	1,8	2,2	3,1
	29 oktober 2019	3-3-2019 <sup>1</sup>	9,8	10,7	53	-34	0,5	0,5	0,9	1,1	1,7
		3-4-2019	9,8	10,7	53	-29	0,6	0,7	1,0	1,2	1,8
	15 november 2019	3-5-2019	4,9	4,8	75	-7	1,2	1,5	2,4	2,8	4,6
		3-6-2019	4,9	4,8	75	-14	1,4	1,9	3,0	3,4	4,7
	29 juli 2021	3-1-2021	19,3	18,3	53	-29	2,0	3,2	4,5	5,3	8,0
		3-2-2021	19,0	19,5	50	14	0,7	1,0	1,5	2,1	3,9
	13 augustus 2021	3-3-2021	22,7	21,0	57	-21	1,1	1,8	2,7	3,0	5,3
		3-4-2021	24,9	22,3	54	16	1,1	1,6	2,8	3,3	5,4
	18 augustus 2021	3-5-2021	20,0	19,0	65	2	1,3	2,5	3,7	4,2	6,5
		3-6-2021	18,0	18,0	72	-6	0,9	2,0	2,3	2,8	4,4

<sup>1</sup> bij meting #3 op 29 oktober 2019 was de windrichting meer dan 30° afwijkend van haaks; deze meting is daarom niet in de statistische analyse meegenomen





---

Correspondentie adres voor dit rapport:

Postbus 16  
6700 AA Wageningen  
T 0317 48 07 00  
[www.wur.nl/plant-research](http://www.wur.nl/plant-research)

Rapport WPR-1126

---

De missie van Wageningen University & Research is 'To explore the potential of nature to improve the quality of life'. Binnen Wageningen University & Research bundelen Wageningen University en gespecialiseerde onderzoeksinstituten van Stichting Wageningen Research hun krachten om bij te dragen aan de oplossing van belangrijke vragen in het domein van gezonde voeding en leefomgeving. Met ongeveer 30 vestigingen, 5.000 medewerkers en 10.000 studenten behoort Wageningen University & Research wereldwijd tot de aansprekende kennisinstellingen binnen haar domein. De integrale benadering van de vraagstukken en de samenwerking tussen verschillende disciplines vormen het hart van de unieke Wageningen aanpak.



---

To explore  
the potential  
of nature to  
improve the  
quality of life



---

Corresponding address for this report:

P.O. Box 16  
6700 AA Wageningen  
The Netherlands  
T +31 (0)317 48 07 00  
[www.wur.nl/plant-research](http://www.wur.nl/plant-research)

Confidential Report

The mission of Wageningen University & Research is "To explore the potential of nature to improve the quality of life". Under the banner Wageningen University & Research, Wageningen University and the specialised research institutes of the Wageningen Research Foundation have joined forces in contributing to finding solutions to important questions in the domain of healthy food and living environment. With its roughly 30 branches, 6,800 employees (6,000 fte) and 12,900 students, Wageningen University & Research is one of the leading organisations in its domain. The unique Wageningen approach lies in its integrated approach to issues and the collaboration between different disciplines.

